

现代控制系统

第二章：系统数学模型

2. 系统数学建模

- 物理系统的数学建模是控制系统设计和分析过程中的关键环节。通常用常微分方程（组）来描述系统的动态特性。本章讨论的实际物理系统包括机械系统、流体系统和电器系统等。
- 预期收获
 - ✓ 体会到能够用微分方程描述物理系统的动态特性
 - ✓ 能够通过泰勒级数展开来实现模型的线性近似
 - ✓ 理解并掌握拉普拉斯变换及其在传递函数计算中的作用
 - ✓ 掌握框图模型和信号流图模型，认识到其在控制系统分析与设计中的作用
 - ✓ 理解数学建模在控制系统设计过程中的重要作用

2. 系统数学建模

- 2.1 引言
- 2.2 物理系统的微分方程
- 2.3 物理系统的线性近似
- 2.4 Laplace变换
- 2.5 线性系统的传递函数
- 2.6 框图模型
- 2.7 信号流图模型
- 2.8 控制系统的计算机辅助分析
- 2.9 设计实例
- 2.10 利用MATLAB进行系统仿真
- 2.11 循序渐进设计示例：磁盘驱动读取系统
- 2.12 小结

2.1 引言

- 数学模型 (Mathematical models)
 - 利用数学工具对系统行为进行的描述
- 线性系统 (Linear system)
 - 满足叠加性 (superposition) 和齐次性 (homogeneity) 的系统
 - 线性叠加原理
 - 若系统对激励 $x_1(t)$ 的响应为 $y_1(t)$ ，对激励 $x_2(t)$ 的响应为 $y_2(t)$ ，则线性系统对激励 $x_1(t) + x_2(t)$ 的响应必须是 $y_1(t) + y_2(t)$
 - 齐次性准则
 - 若系统对输入激励 x 的输出响应为 y ，则线性系统对缩放常数 (β) 倍的输入激励 βx 的响应必须是 βy

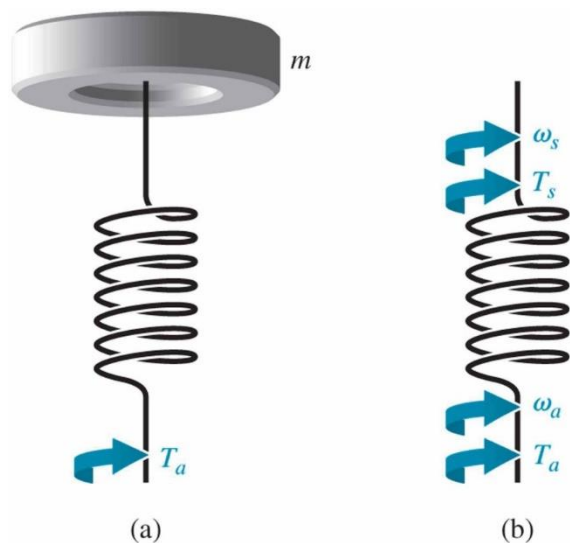
分析研究动态系统的步骤

1. 构建和定义系统及其元件
2. 基于基本的物理模型，确定必要的假设条件并推导数学模型
3. 列写描述该模型的微分方程（组）
4. 求解方程（组），得到所求输出变量的解
5. 检查假设条件和所得到的解
6. 如果必要，重新分析和设计系统

2.2 物理系统的微分方程（组）

根据受控过程自身遵循的物理规律，可以建立描述物理系统动态特性的微分方程。这种方法可以应用于机械系统（牛顿运动定律）、电气系统（基尔霍夫定律）、热力学系统（热力学定律）等，并能够取得同样好的效果。

如图2.1所示，考虑到扭矩 $T_a(t)$ 作用下的弹簧-质量（块）系统，假设弹簧的质量为零，需要测量的物理量是传送到质量块 m 上的扭矩 $T_s(t)$ 。



由于弹簧的质量可以忽略不计，因此作用在弹簧上的扭矩为零： $T_a(t) - T_s(t) = 0$ 。由此可知，作用于弹簧另一端的外部扭矩，通过弹簧原封不动地传递到了另一端，因此，该扭矩称为通过型变量。

如果考虑弹簧两端的旋转角度之差： $\omega(t) = \omega_s(t) - \omega_a(t)$ ，则需要在弹簧两端测量角速度，才能测得角速度差，角速度因而称为跨越型变量。

图2.1 (a) 旋转弹簧-质量系统；
(b) 弹簧元件

表2.1 物理系统的通过型和跨越型变量小结

系统	通过元件的变量	积分通过型变量	跨越元件的变量	积分跨越型变量
电力系统	电流, i	电荷, q	电压差, v_{21}	磁通匝连数, λ_{21}
机械传动系统	力, F	平动动量, P	速度差, v_{21}	位移差, y_{21}
机械旋转系统	扭矩, T	角动量, h	角速度差, ω_{21}	角位移差, θ_{21}
流体系统	流量, Q	容积, V	压强差 P_{21}	压力动量, γ_{21}
热力系统	热流量, q	热能, H	温差 T_{21}	

Table 2.1 Summary of Through- and Across-Variables for Physical Systems

电力系统

机械传动系统

机械旋转系统

流体系统

热力系统

System	Variable Through Element	Integrated Through-Variable	Variable Across Element	Integrated Across-Variable
Electrical	Current, i	Charge, q	Voltage difference, v_{21}	Flux linkage, λ_{21}
Mechanical translational	Force, F	Translational momentum, P	Velocity difference, v_{21}	Displacement difference, y_{21}
Mechanical rotational	Torque, T	Angular momentum, h	Angular velocity difference, ω_{21}	Angular displacement difference, θ_{21}
Fluid	Fluid volumetric rate of flow, Q	Volume, V	Pressure difference, P_{21}	Pressure momentum, γ_{21}
Thermal	Heat flow rate, q	Heat energy, H	Temperature difference, \mathcal{T}_{21}	

表2.2 理想元件遵循的微分方程

感性储能元件





	Physical Element	Governing Equation	Energy E or Power \mathcal{P}	Symbol
电阻	Electrical inductance	$v_{21} = L \frac{di}{dt}$	$E = \frac{1}{2} Li^2$	
平动弹簧	Translational spring	$v_{21} = \frac{1}{k} \frac{dF}{dt}$	$E = \frac{1}{2} \frac{F^2}{k}$	
旋转弹簧	Rotational spring	$\omega_{21} = \frac{1}{k} \frac{dT}{dt}$	$E = \frac{1}{2} \frac{T^2}{k}$	
流体惯量	Fluid inertia	$P_{21} = I \frac{dQ}{dt}$	$E = \frac{1}{2} IQ^2$	

表2.2 理想元件遵循的微分方程

容性储能元件


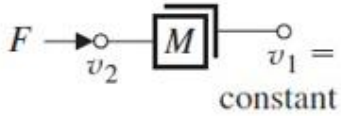
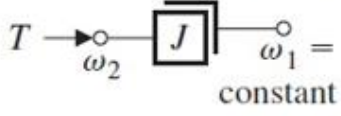
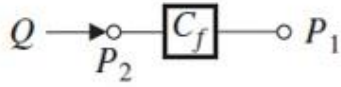
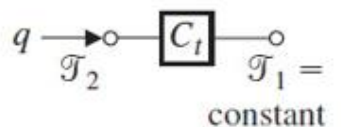

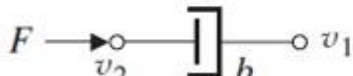
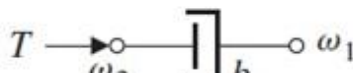

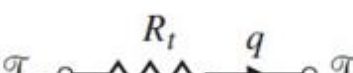
电容	Electrical capacitance	$i = C \frac{dv_{21}}{dt}$	$E = \frac{1}{2} C v_{21}^2$	
平动质量	Translational mass	$F = M \frac{dv_2}{dt}$	$E = \frac{1}{2} M v_2^2$	
转动惯量	Rotational mass	$T = J \frac{d\omega_2}{dt}$	$E = \frac{1}{2} J \omega_2^2$	
流体容量	Fluid capacitance	$Q = C_f \frac{dP_{21}}{dt}$	$E = \frac{1}{2} C_f P_{21}^2$	
热容量	Thermal capacitance	$q = C_t \frac{d\mathcal{T}_2}{dt}$	$E = C_t \mathcal{T}_2$	

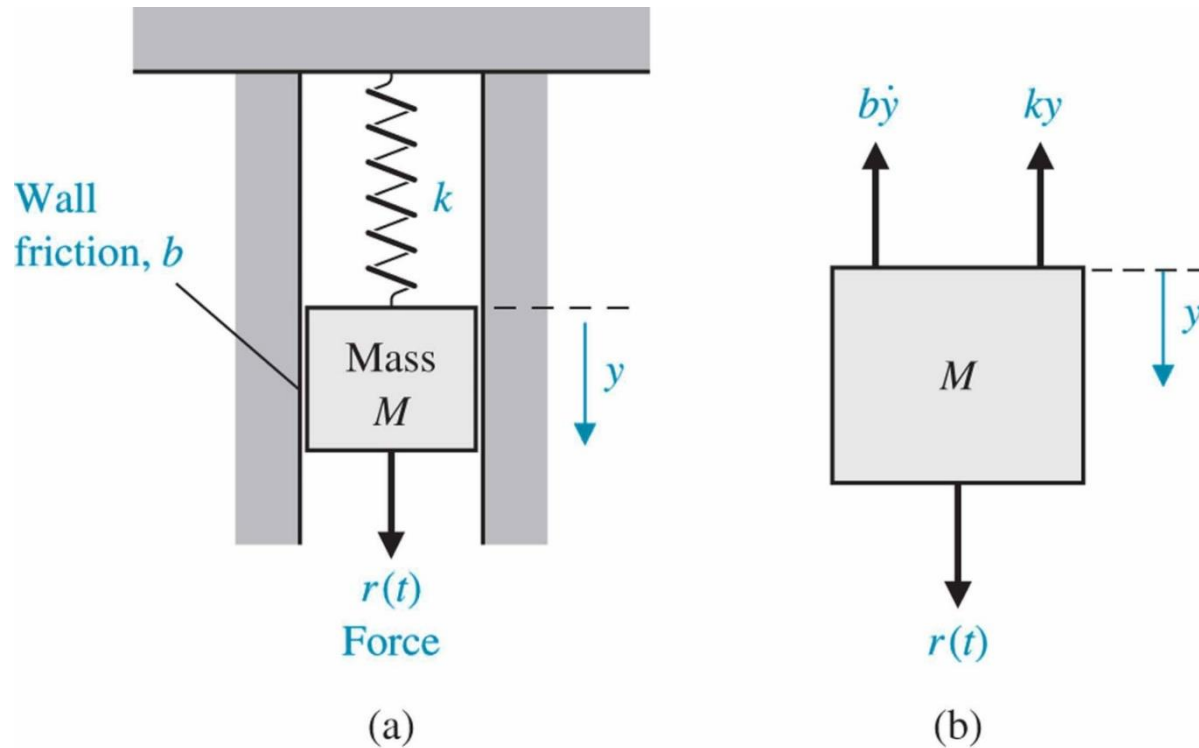
表2.2 理想元件遵循的微分方程

耗能型元件

	物理元件	微分方程	能量或功率	符号
电感	Electrical resistance	$i = \frac{1}{R} v_{21}$	$\mathcal{P} = \frac{1}{R} v_{21}^2$	
平动 阻尼器	Translational damper	$F = b v_{21}$	$\mathcal{P} = b v_{21}^2$	
旋转 阻尼器	Rotational damper	$T = b \omega_{21}$	$\mathcal{P} = b \omega_{21}^2$	
流阻	Fluid resistance	$Q = \frac{1}{R_f} P_{21}$	$\mathcal{P} = \frac{1}{R_f} P_{21}^2$	
热阻	Thermal resistance	$q = \frac{1}{R_t} \mathcal{T}_{21}$	$\mathcal{P} = \frac{1}{R_t} \mathcal{T}_{21}^2$	

弹簧-质量-阻尼系统

这个简单系统可用于描述汽车减震装置，假定壁摩擦为黏性阻尼，即摩擦力与质量块的运动速度成正比。



Copyright © 2011 Pearson Education, Inc. publishing as Prentice Hall

图2.2 (a) 弹簧-质量-阻尼系统 (b) 质量的运动分析图

弹簧-质量-阻尼系统

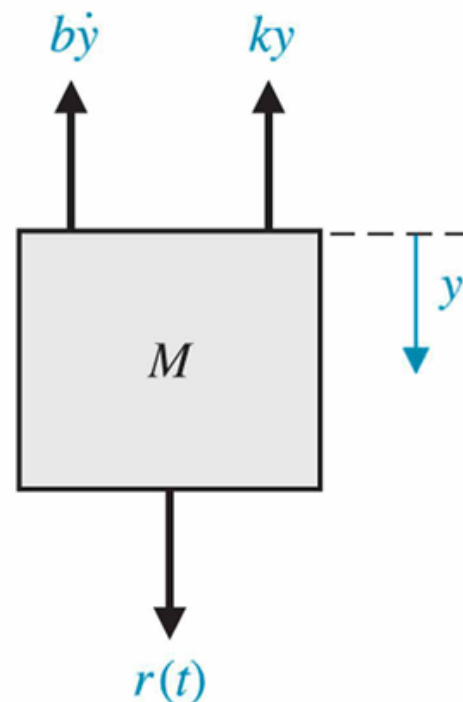
在质量块-弹簧-阻尼器系统中，分析质量块M的受力情况，由牛顿第二定律可得：

$$M \frac{d^2 y(t)}{dt^2} + b \frac{dy(t)}{dt} + ky(t) = r(t)$$

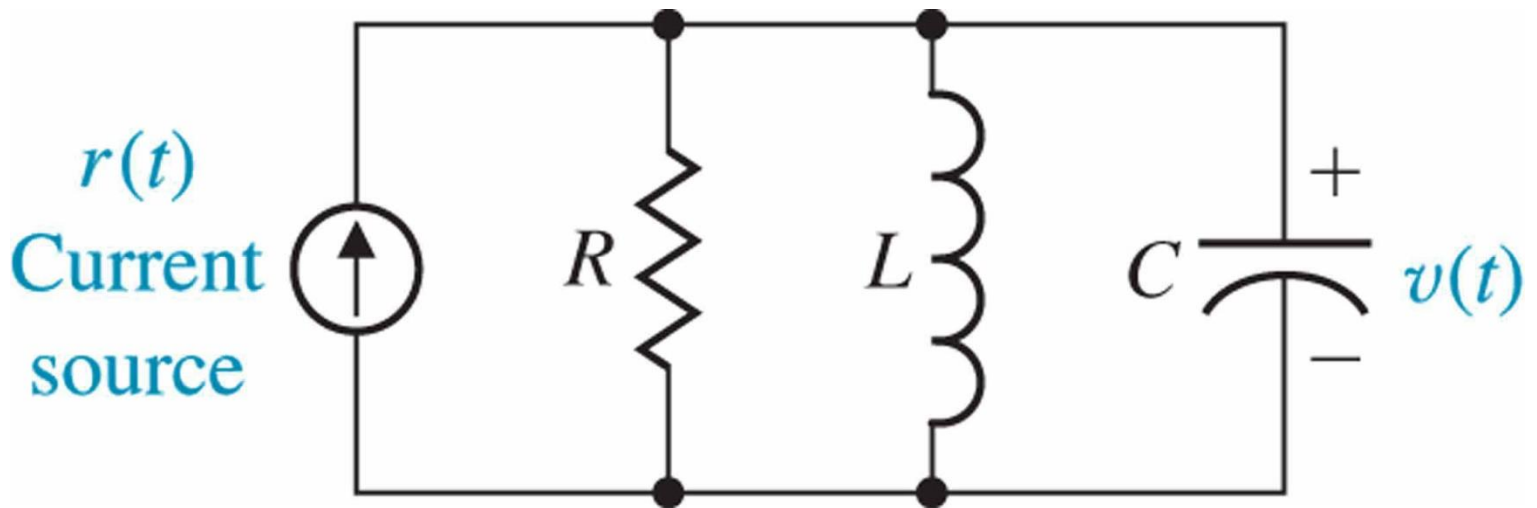
其中，k是理想弹簧元件的弹性系数，b为黏性摩擦的摩擦系统

令
$$v(t) = \frac{dy(t)}{dt}$$

$$M \frac{dv(t)}{dt} + bv(t) + k \int_0^t v(t) dt = r(t)$$



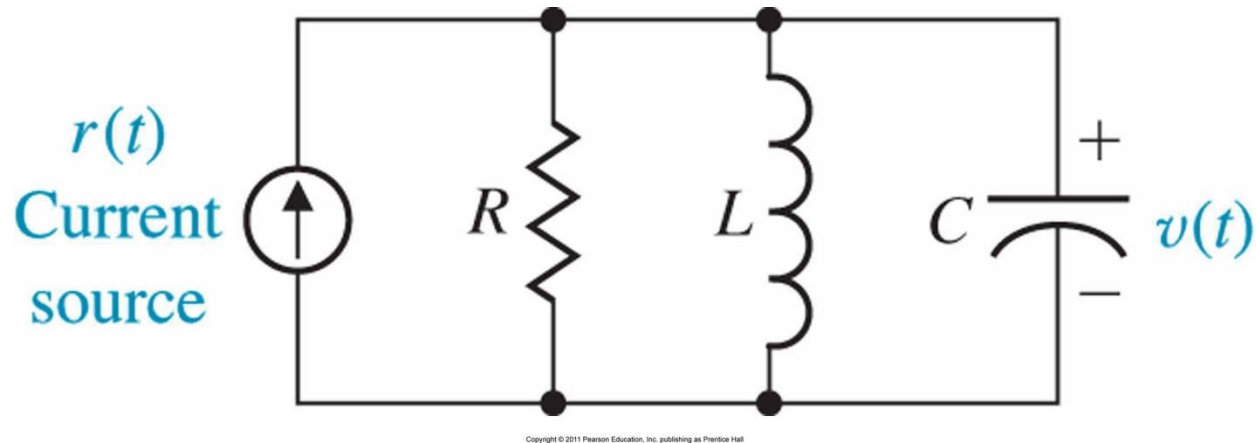
RLC电路



Copyright © 2011 Pearson Education, Inc. publishing as Prentice Hall

图2.3 RLC电路

RLC电路



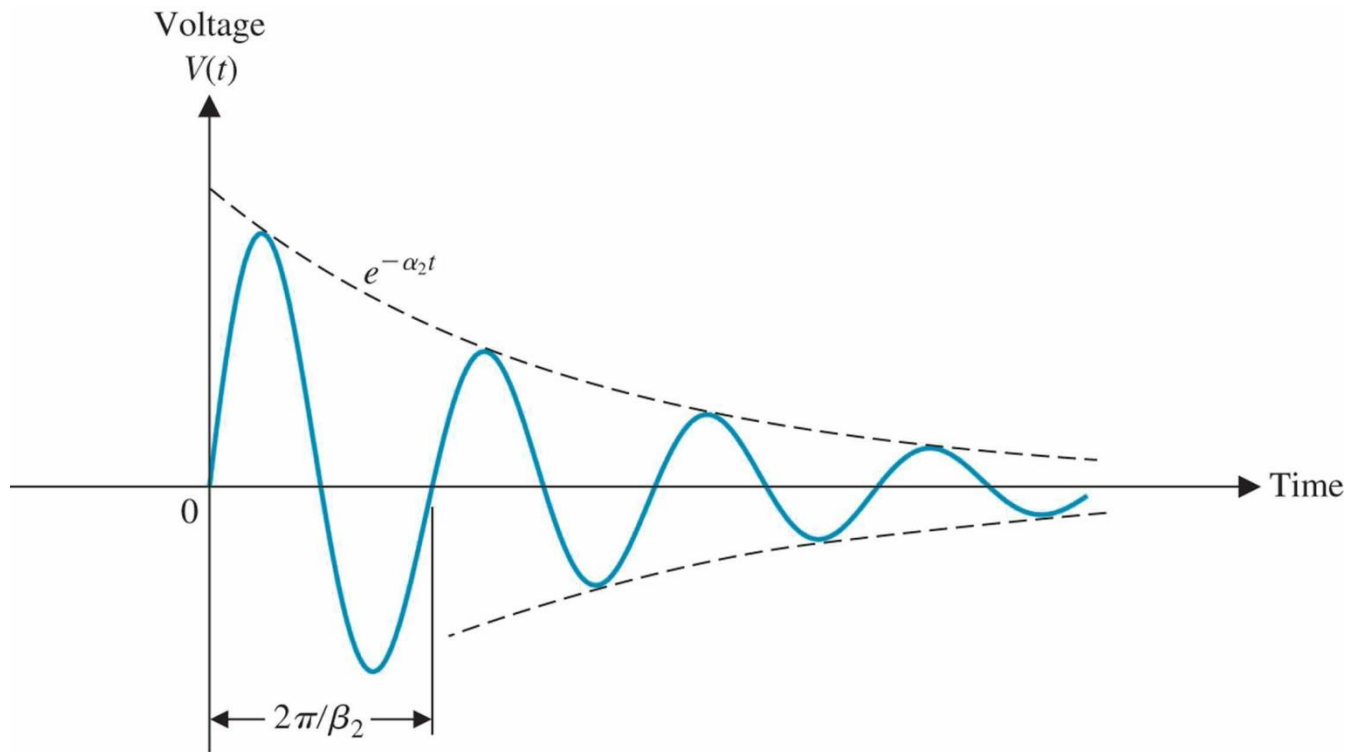
$$v(t) = L \frac{di(t)}{dt}$$

$$i(t) = C \frac{dv(t)}{dt}$$

$$C \frac{dv(t)}{dt} + \frac{v(t)}{R} + \frac{1}{L} \int_0^t v(t) dt = r(t)$$

RLC电路

当RLC电路的电流恒定，RLC电路的输出电压的响应曲线



Copyright © 2011 Pearson Education, Inc. publishing as Prentice Hall

相似变量和相似系统

弹簧-质量-阻尼系统（机械系统）和RLC电路（电气系统）的微分方程：

相似系统

$$M \frac{dv(t)}{dt} + bv(t) + k \int_0^t v(t) dt = r(t)$$

$$C \frac{dv(t)}{dt} + \frac{v(t)}{R} + \frac{1}{L} \int_0^t v(t) dt = r(t)$$

速度和电压、力与电流在方程中是等效的变量，因此又称为相似变量，上述两个系统也就称为相似系统

在系统建模中，相似系统这一概念的作用巨大，由于存在相似系统及相似的解，分析人员可以将一个系统的分析结果，推广到具有相同微分方程模型的其它系统。因此，我们所学的关于电气系统的知识，可以推广到机械、热力和流体等系统。

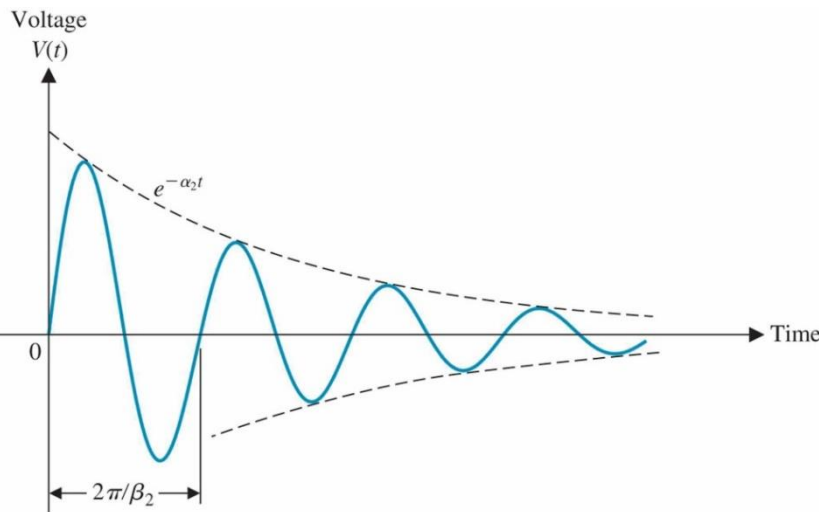


图2.4 典型响应

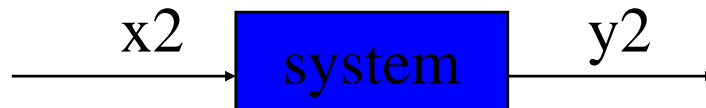
2.3 物理系统的线性近似

- ◆ 当不限制参数的变化范围时，所有的物理系统终究都是非线性系统
- ◆ 而在参数变化的一定范围内，绝大多数物理系统呈现出线性特性
- ◆ 在研究实际物理系统时，合理的假设和线性化处理是非常有用的。这样，就能够根据线性等效系统遵循的物理规律，得到物理系统的线性微分方程模型

2.3 物理系统的线性近似

线性系统：满足叠加性和齐次性的系统

已知



如果



则系统是线性的

2.3 物理系统的线性近似

非线性系统

如果叠加性和其次性不满足，则系统是非线性的。

例如：

$$y = x^2$$

$$y = mx + b$$

但变量在工作点 (x_0, y_0) 附近做小范围变化时，对小信号变量 $(\Delta x, \Delta y)$ 而言，假设 $y' = y_0 + \Delta y$ ，由于 $\Delta y = m\Delta x$ ，在此情况下 $y = mx + b$ 是线性的

线性近似 (Linear approximation)

线性近似：指通过建立设备的输入与输出之间的线性关系而获得的近似模型。

考虑一个具有激励变量 $x(t)$ 和响应变量 $y(t)$ 的通用元件，两个变量之间的关系可以写为下面的一般形式：

$$y = g(x(t))$$

该系统的正常工作点为 x_0 ，由于函数曲线在工作点附近的区间内常常是连续可微的，因此，在工作点附近可以进行泰勒级数展开：

$$y = g(x_0) + \left. \frac{dg}{dx} \right|_{x=x_0} (x - x_0) + \left. \frac{d^2g}{dx^2} \right|_{x=x_0} \frac{(x - x_0)^2}{2!} + \dots \quad (2.7)$$

线性近似 (Linear approximation)

当 $(x - x_0)$ 在小范围内波动时，以函数在工作点处的导数

$$\left. \frac{dg}{dx} \right|_{x=x_0}$$

为斜率的直线，能够很好地拟合函数的实际响应曲线。

因此，方程 (2.7) 可以近似为：

$$y = g(x_0) + \left. \frac{dg}{dx} \right|_{x=x_0} (x - x_0) = y_0 + m(x - x_0) \quad (2.8)$$

其中， m 表示工作点处的斜率。方程 (2.8) 可以改写为如下的线性方程：

$$y - y_0 = m(x - x_0)$$

或

$$\Delta y = m\Delta x$$

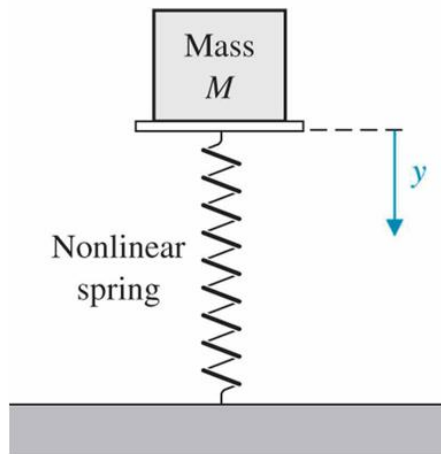
线性近似 (Linear approximation)

如图(2.5) (a)所示，质量块M位于非线性弹簧之上，非线性弹簧的弹力特征为 $f = y^2$ 。根据图(2.5) (b)的线性化过程，该系统的位移增量的小信号线性模型：

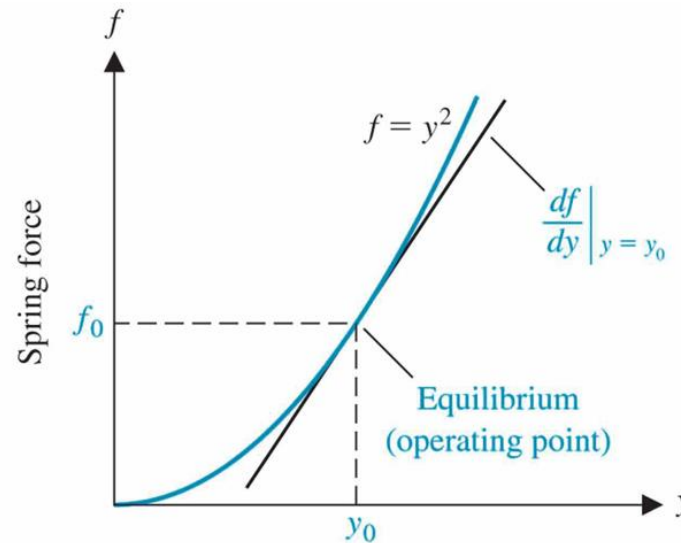
$$\Delta f = m \Delta y$$

其中

$$m = \left. \frac{df}{dy} \right|_{y_0}$$



(a)



(b)

图2.5 (a)质量块位于非线性弹簧之上；(b)弹簧弹力与位移 y 的关系

线性近似 (Linear approximation)

如果响应变量 $y(t)$ 依赖于多个激励变量 x_1, x_2, \dots, x_n , 则函数关系可以写为:

$$y = g(x_1, x_2, \dots, x_n)$$

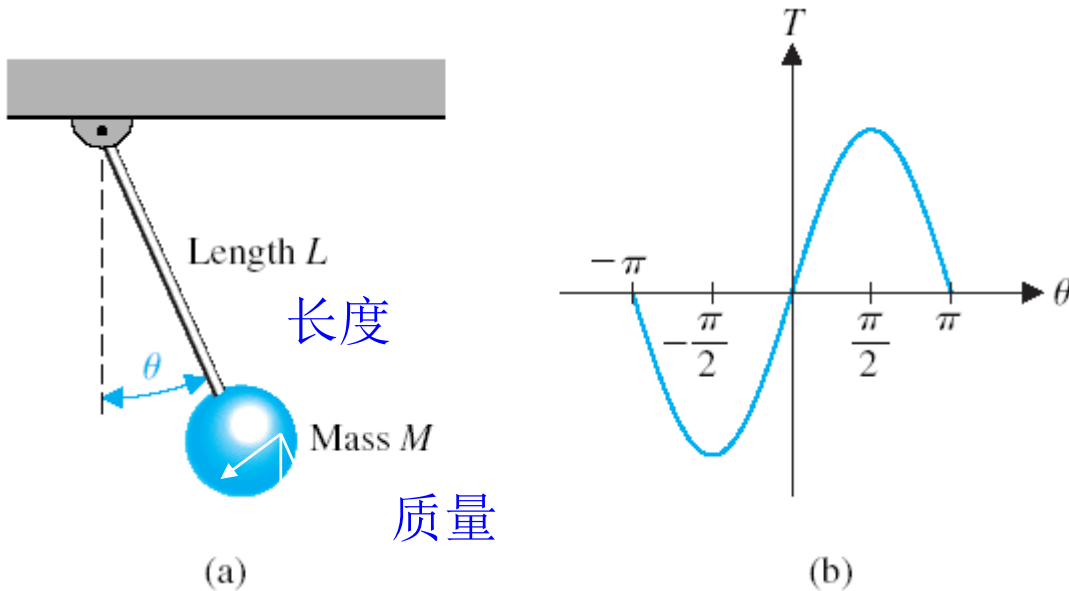
在工作点 $x_{1_0}, x_{2_0}, \dots, x_{n_0}$ 处, 利用多元泰勒级数展开对非线性系统进行线性化近似, 当高阶项可以忽略不计时, 只取其一阶项, 线性近似式可以写为

$$y = g(x_{1_0}, x_{2_0}, \dots, x_{n_0}) + \frac{\partial g}{\partial x_1} \Big|_{x=x_0} (x_1 - x_{1_0}) + \frac{\partial g}{\partial x_2} \Big|_{x=x_0} (x_2 - x_{2_0}) + \dots + \frac{\partial g}{\partial x_n} \Big|_{x=x_0} (x_n - x_{n_0})$$

(2.11)

2.3 物理系统的线性近似

例2.1 摆振荡器模型 Pendulum oscillator model



T = 质量上的转矩, 输出
 θ = 角位移, 输入
 M = 摆质量
 L = 摆长度

图2.6 摆的振荡器

例2.1 摆振荡器模型 Pendulum oscillator model

作用于质量块上的扭矩: $T = MgL \sin \theta$ (2.12)

质量块的平衡位置: $\theta_0 = 0^\circ$

利用式(2.12)在平衡点处的一阶导数, 可以得到系统的线性近似:

$$T - T_0 \cong MgL \left. \frac{\partial \sin \theta}{\partial \theta} \right|_{\theta=\theta_0} (\theta - \theta_0)$$

其中 $T_0 = 0$, 于是可以得到

$$T = MgL(\cos 0^\circ)(\theta - 0^\circ) = MgL\theta \quad (2.13)$$

在 $(-\pi/4) \leq \theta \leq (\pi/4)$ 的范围内, 式(2.13)的近似精度非常高。

2.4 Laplace变换

- Laplace变换

- 将时域函数 $f(t)$ 转换成复频域函数 $F(s)$ 的变换
- 容易求解复杂的微分方程


线性微分方程的求解

线性微分方程的求解方法：

解析法、拉普拉斯变换法、计算机辅助求解

拉普拉斯变换法求解微分方程基本步骤：

- (1) 考虑初始条件，对微分方程中的各项进行拉式变换，
变成变量s的代数方程。


$$f(t) \Rightarrow F(s)$$

- (2) 由变量s的代数方程求出系统输出输出量的拉式变换式。


$$F(s) \Rightarrow Y(s)$$

- (3) 对输出量的拉式变换式进行拉式反变换，得到系统微
分方程的解。


$$Y(s) \Rightarrow y(t)$$

拉普拉斯变换与逆变换

(1) 拉氏变换定义:

设函数 $f(t)$ 满足 ① $t < 0$ 时 $f(t) = 0$

② $t > 0$ 时, $f(t)$ 分段连续 $\int_0^{\infty} |f(t)e^{-st}| dt < \infty$

则 $f(t)$ 的拉氏变换存在, 其表达式记作:

$$F(s) = L[f(t)] = \int_0^{\infty} f(t)e^{-st} dt$$

控制工程上函数满足拉氏变换要求: 能量有限

(2) 拉氏变换基本定理

- 线性定理 $L[a_1 f_1(t) + a_2 f_2(t)] = a_1 F_1(s) + a_2 F_2(s)$
- 位移定理 $L[e^{-at} f(t)] = F(s + a)$
- 延迟定理 $L[f(t - \tau)] = e^{-\tau s} F(s)$

拉普拉斯变换与逆变换

- 定义 : $F(s) = \int_{0-}^{\infty} f(t)e^{-st} dt = \mathcal{L}\{f(t)\}$
- 其中: $F(s)$ 是像函数(image function)

$f(t)$ 是原函数 (object function)

- 逆 Laplace变换 : $f(t) = \frac{1}{2\pi j} \int_{\sigma-j\infty}^{\sigma+j\infty} F(s)e^{+st} ds$

Laplace变量 s 可看成微分算子

$$s \equiv \frac{d}{dt} \qquad \frac{1}{s} \equiv \int_{0-}^t dt$$

简单函数的 Laplace 变换

1. 阶跃函数 (Step function) $1(t)$
2. 脉冲函数 (Pulse function) $\delta(t)$
3. 斜坡函数 (Ramp function) t
4. 指数延迟函数 (Decaying exponential) e^{at}
5. 正弦函数 (Sinusoid) $\sin\omega t$



阶跃和脉冲函数 $1(t), \delta(t)$



- 阶跃函数： $1(t) = \begin{cases} 0 & t < 0 \\ 1 & t \geq 0 \end{cases}$

$$L[1(t)] = \int_0^{\infty} 1(t) \cdot e^{-st} dt = -\frac{e^{-st}}{s} \Big|_0^{\infty} = \frac{1}{s}$$

- 脉冲函数： $\delta(t) = \begin{cases} \infty & t = 0 \\ 0 & t \neq 0 \end{cases}$

$$\int_{-\infty}^{+\infty} \delta(t) dt = 1 \quad \int_{-\infty}^{+\infty} \delta(t) \cdot f(t) dt = f(0)$$

$$L[\delta(t)] = \int_0^{\infty} \delta(t) \cdot e^{-st} dt = e^{-st} \Big|_{t=0} = 1$$

斜坡函数 t

- 斜坡函数：
$$f(t) = \begin{cases} 0 & t < 0 \\ t & t \geq 0 \end{cases}$$

- 用部分分式法：
$$\int u dv = uv - \int v du$$

则

$$\begin{aligned} L[f(t)] &= \int_0^{\infty} t \cdot e^{-st} dt = -t \frac{e^{-st}}{s} \Big|_0^{\infty} - \int_0^{\infty} \left(-\frac{e^{-st}}{s} \right) dt \\ &= \int_0^{\infty} \left(\frac{e^{-st}}{s} \right) dt = -\frac{1}{s^2} e^{-st} \Big|_0^{\infty} = \frac{1}{s^2} \end{aligned}$$

常见拉氏变换

微分 $s \equiv \frac{d}{dt}$

积分 $\frac{1}{s} \equiv \int_{0-}^t dt$

	原函数	像函数
脉冲	$\delta(t)$	1
阶跃	$1(t)$	$1/s$
斜坡	t	$\frac{1}{s^2}$

典型函数的拉氏变换

时域上函数	$f(t) \quad t \geq 0$	复数 (S) 域: $F(s)$
脉冲	$\delta(t)$	1
单位阶跃	$1[t]$	$1/s$
速度	t	$1/s^2$
加速度	$\frac{1}{2}t^2$	$1/s^3$
指数	e^{-at}	$\frac{1}{s+a}$
正弦	$\sin(\omega t)$	$\frac{\omega}{s^2 + \omega^2}$

指数延迟函数 e^{at}

- 指数延迟函数

$$e^{at}$$

指数延迟函数的拉氏变换

$$L[e^{at}] = \int_0^{\infty} e^{at} e^{-st} dt = \int_0^{\infty} e^{-(s-a)t} dt = -\left. \frac{e^{-(s-a)t}}{s-a} \right|_0^{\infty} = \frac{1}{s-a}$$

正弦函数 $\sin\omega t$

- 正弦函数

$$\sin \omega t = \frac{1}{2j} (e^{j\omega t} - e^{-j\omega t})$$

正弦函数的拉氏变换

$$\begin{aligned} L[\sin \omega t] &= \int_0^{\infty} \sin \omega t \cdot e^{-st} dt = \int_0^{\infty} \frac{1}{2j} (e^{j\omega t} - e^{-j\omega t}) e^{-st} dt \\ &= \frac{1}{2j} \left(\frac{1}{s - j\omega} - \frac{1}{s + j\omega} \right) = \frac{\omega}{s^2 + \omega^2} \end{aligned}$$

Laplace变换性质 (1)

- 叠加性Superposition

$$L[K_1 f_1(t) + K_2 f_2(t)] = K_1 F_1(s) + K_2 F_2(s)$$

- 时间平移Translation in time $L[f(t - a)] = e^{-as} \cdot F(s)$
- 复频域微分Complex differentiation $L[t \cdot f(t)] = -\frac{d}{ds} F(s)$
- S域平移Translation in the s domain

$$L[e^{-at} f(t)] = F(s + a)$$

- 实域微分Real differentiation

$$L[f'(t)] = s \cdot F(s) - f(0^+)$$

Laplace变换性质 (2)

- 时域积分Real integration

$$L\left[\int_0^t f(t)dt\right] = \frac{F(s)}{s} + \frac{1}{s} f^{(-1)}(0^+)$$

$$L\left[\int_0^t \int_0^t \cdots \int_0^t f(t)(dt)^n\right] = \frac{1}{s^n} F(s) + \frac{1}{s^n} f^{(-1)}(0^+) + \frac{1}{s^{n-1}} f^{(-2)}(0^+) + \frac{1}{s} f^{(-n)}(0^+)$$

其中 $\int_0^t \int_0^t \cdots \int_0^t f(t)(dt)^n \Big|_{t=0} = f^{(-n)}(0^+)$

- 终值定理Final value

$$\lim_{t \rightarrow \infty} f(t) = \lim_{s \rightarrow 0} sF(s)$$

- 初值定理Initial value

$$f(0^+) = \lim_{t \rightarrow 0^+} f(t) = \lim_{s \rightarrow \infty} sF(s)$$

- 复频域积分Complex integration

$$L\left[\frac{f(t)}{t}\right] = \int_s^\infty F(s)ds$$

Laplace变换性质 (3)

- 周期函数的Laplace变换
(Laplace transform of the periodic function) 

若 $f(t + T) = f(t)$, 则

$$L[f(t)] = \frac{1}{1 - e^{-sT}} \int_0^T f(t) e^{-st} dt$$

Laplace变换性质 (4)

- 卷积定理Convolution theorem 

$$\text{若: } F(s) = L[f(t)], G(s) = L[g(t)]$$

$$\text{则: } L\left[\int_0^t f(t-\tau)g(\tau)d\tau\right] = F(s) \cdot G(s)$$

其中

$$\text{若: } F(s) = L[f(t)], G(s) = L[g(t)]$$

$$\text{则: } L\left[\int_0^t f(t-\tau)g(\tau)d\tau\right] = F(s) \cdot G(s)$$

Laplace变换性质 (4) 证明

证:

$$\begin{aligned}L[f(t) * g(t)] &= L\left[\int_0^t f(t-\tau)g(\tau)d\tau\right] \\&= L\left[\int_0^\infty f(t-\tau)1(t-\tau)g(\tau)d\tau\right] \\&= \int_0^\infty \left[\int_0^\infty f(t-\tau)1(t-\tau)g(\tau)d\tau\right] e^{-st} dt \\&= \int_0^\infty \int_0^\infty f(t-\tau)1(t-\tau)e^{-s(t-\tau)} dt \cdot g(\tau)e^{-s\tau} d\tau \\&\stackrel{\text{令 } t-\tau=\lambda}{=} \int_0^\infty f(\lambda)e^{-s\lambda} d\lambda \int_0^\infty g(\tau)e^{-s\tau} d\tau \\&= F(s)G(s)\end{aligned}$$

拉普拉斯变换的初值定理、终值定理

初值定理

若 $L[f(t)] = F(s)$ ，且 $\lim_{s \rightarrow \infty} sF(s)$ 存在，则

$$\lim_{t \rightarrow 0_+} f(t) = \lim_{s \rightarrow \infty} sF(s)$$

或

$$f(0_+) = \lim_{s \rightarrow \infty} sF(s)$$

证明：根据拉氏变换的微分性质，有

$$L\left[\frac{d}{dt} f(t)\right] = \int_0^{\infty} \frac{d}{dt} f(t) e^{-st} dt = sF(s) - f(0)$$

令 $s \rightarrow \infty$ ，对等式两边取极限，得

$$\lim_{s \rightarrow \infty} \int_0^{\infty} \frac{d}{dt} f(t) e^{-st} dt = \lim_{s \rightarrow \infty} [sF(s) - f(0)]$$

在时间区间 $[0_+, \infty)$ 内， $\lim_{s \rightarrow \infty} e^{-st} = 0$ ，因此等式左边为

拉普拉斯变换的初值定理、终值定理

令 $s \rightarrow \infty$ ，对等式两边取极限，得

$$\lim_{s \rightarrow \infty} \int_0^{\infty} \frac{d}{dt} f(t) e^{-st} dt = \lim_{s \rightarrow \infty} [sF(s) - f(0)]$$

在时间区间 $[0_+, \infty)$ 内， $\lim_{s \rightarrow \infty} e^{-st} = 0$ ，因此等式左边为

$$\lim_{s \rightarrow \infty} \int_{0_+}^{\infty} \frac{d}{dt} f(t) e^{-st} dt = \lim_{s \rightarrow \infty} \int_{0_+}^{\infty} \frac{d}{dt} f(t) \lim_{s \rightarrow \infty} e^{-st} dt = 0$$

于是

$$\lim_{s \rightarrow \infty} [sF(s) - f(0_+)] = 0$$

即

$$f(0_+) = \lim_{t \rightarrow 0_+} f(t) = \lim_{s \rightarrow \infty} sF(s)$$

利用初值定理，我们可以从 $f(t)$ 的拉氏变换，直接求出

$f(t)$ 在 $t=0_+$ 时的值。虽然初值定理不能严格地给出 $t=0$ 时的

$f(t)$ 值，但是能够给出时间略大于零时的 $f(t)$ 值。

拉普拉斯变换的初值定理、终值定理

终值定理

若时间函数 $f(t)$ 及其一阶导数都是可拉氏变换的, 而 $L[f(t)] = F(s)$,

且 $\lim_{t \rightarrow \infty} f(t)$ 存在, 则 $\lim_{t \rightarrow \infty} f(t) = \lim_{s \rightarrow 0} sF(s)$

证明: 根据拉氏变换的微分性质, 有

$$L\left[\frac{d}{dt} f(t)\right] = \int_0^{\infty} \frac{d}{dt} f(t) e^{-st} dt = sF(s) - f(0)$$

令 $s \rightarrow 0$, 对等式两边取极限, 得 $\lim_{s \rightarrow 0} \int_0^{\infty} \frac{d}{dt} f(t) e^{-st} dt = \lim_{s \rightarrow 0} [sF(s) - f(0)]$

$$\begin{aligned} \text{等式左边为} \quad \lim_{s \rightarrow 0} \int_0^{\infty} \frac{d}{dt} f(t) e^{-st} dt &= \int_0^{\infty} \frac{d}{dt} f(t) \lim_{s \rightarrow 0} e^{-st} dt \\ &= \int_0^{\infty} df(t) = \lim_{t \rightarrow \infty} \int_0^t df(t) \\ &= \lim_{t \rightarrow \infty} [f(t) - f(0)] \end{aligned}$$

于是 $\lim_{t \rightarrow \infty} f(t) = \lim_{s \rightarrow 0} sF(s)$

拉普拉斯变换的初值定理、终值定理

终值定理

若时间函数 $f(t)$ 及其一阶导数都是可拉氏变换的, 而 $L[f(t)] = F(s)$,

且 $\lim_{t \rightarrow \infty} f(t)$ 存在, 则 $\lim_{t \rightarrow \infty} f(t) = \lim_{s \rightarrow 0} sF(s)$

终值定理表明: 时间函数 $f(t)$ 的稳态值与复频域中 $s=0$ 附近的

$sF(s)$ 的值相同。因此, $f(t)$ 在 $t \rightarrow \infty$ 时的值可以直接由

$\lim_{s \rightarrow 0} sF(s)$ 得到。

利用该性质, 可在复频域中得到控制系统在时间域中的稳态值,

利用该性质还可以求得控制系统的稳态误差。

特别指出: 运用终值定理的前提是时间函数 $f(t)$ 有终值存在,

即 $sF(s)$ 的所有极点位于左半 s 平面。

拉普拉斯变换的初值定理、终值定理

初值定理 若 $L[f(t)] = F(s)$ ，且 $\lim_{s \rightarrow \infty} sF(s)$ 存在，则 $\lim_{t \rightarrow 0_+} f(t) = \lim_{s \rightarrow \infty} sF(s)$

终值定理 若时间函数 $f(t)$ 及其一阶导数都是可拉氏变换的，而 $L[f(t)] = F(s)$ ，且 $\lim_{t \rightarrow \infty} f(t)$ 存在，则 $\lim_{t \rightarrow \infty} f(t) = \lim_{s \rightarrow 0} sF(s)$

【例】已知 $f(t) = e^{-t} \cos t \cdot u(t)$ ，求 $f(0_+)$ 和 $f(\infty)$ 。

解 由于

$$L[\cos t \cdot u(t) e^{-t}] = \frac{s+1}{(s+1)^2 + 1}$$

由初值定理，得

$$f(0_+) = \lim_{s \rightarrow \infty} sF(s) = \lim_{s \rightarrow \infty} \frac{s(s+1)}{(s+1)^2 + 1} = 1$$

由终值定理，得

$$f(\infty) = \lim_{s \rightarrow 0} sF(s) = \lim_{s \rightarrow 0} \frac{s(s+1)}{(s+1)^2 + 1} = 0$$

逆拉式变换

- 部分分式展开法 Partial-fraction expansion method

$$F(s) = \frac{B(s)}{A(s)} = \frac{b_m s^m + b_{m-1} s^{m-1} + \cdots + b_0}{a_n s^n + a_{n-1} s^{n-1} + \cdots + a_0} = \frac{K(s - z_1)(s - z_2) \cdots (s - z_m)}{(s - p_1)(s - p_2) \cdots (s - p_n)}$$

1) 一阶极点:

$$\text{设 } \frac{B(s)}{A(s)} = \frac{K_1}{(s - p_1)} + \frac{K_2}{(s - p_2)} + \cdots + \frac{K_n}{(s - p_n)}$$

其中 K_1, K_2, \dots, K_n 是未知常数.

$$\text{则 } f(t) = L^{-1}[F(s)] = \sum_{i=1}^n \frac{B(p_i)}{A'(p_i)} \cdot e^{p_i t} \quad \text{其中 } A'(p_i) = \left. \frac{dA(s)}{ds} \right|_{s=p_i}$$

逆拉式变换

2)多重极点:

$$\begin{aligned} F(s) &= \frac{B(s)}{A(s)} = \frac{B(s)}{a_n (s - p_1)^r (s - p_{r+1}) \cdots (s - p_n)} \\ &= \frac{K_{11}}{(s - p_1)^r} + \frac{K_{12}}{(s - p_1)^{r-1}} + \cdots + \frac{K_{1r}}{s - p_1} + \frac{K_{r+1}}{s - p_{r+1}} + \frac{K_{r+2}}{s - p_{r+2}} + \cdots + \frac{K_n}{s - p_n} \end{aligned}$$

其中 $K_j = \left[F(s)(s - p_j) \right] \Big|_{s=p_j} = \frac{B(s_{p_j})}{A'(s_{p_j})} (j = r+1, r+2, \cdots, n)$

$$K_{11} = \left[F(s)(s - p_1)^r \right] \Big|_{s=p_1}$$

$$K_{12} = \frac{d}{ds} \left[F(s)(s - p_1)^r \right] \Big|_{s=p_1}$$

$$K_{1r} = \frac{1}{(r-1)!} \frac{d^{r-1}}{ds^{r-1}} \left[F(s)(s - p_1)^r \right] \Big|_{s=p_1}$$

逆拉式变换

- 查表2.5可知 $L[t^{r-1}] = \frac{(r-1)!}{s^r}$ $L[e^{p_1 t} 1(t)] = \frac{1}{(s-p_1)}$
- 用s域平移定理：

$$L[e^{-at} f(t)] = F(s+a)$$

$$\text{则 } L^{-1}\left[\frac{1}{(s-p_1)^k}\right] = \frac{t^{k-1}}{(k-1)!} e^{p_1 t} 1(t)$$

$$f(t) = L^{-1}[F(s)] = \left[\frac{K_{11}}{(r-1)!} t^{r-1} + \frac{K_{12}}{(r-2)!} t^{r-2} + \cdots + K_{1r} \right] e^{p_1 t} + K_{r+1} e^{p_{r+1} t} + \cdots + K_n e^{p_n t}$$

2.5 线性系统的传递函数 (Transfer Function)

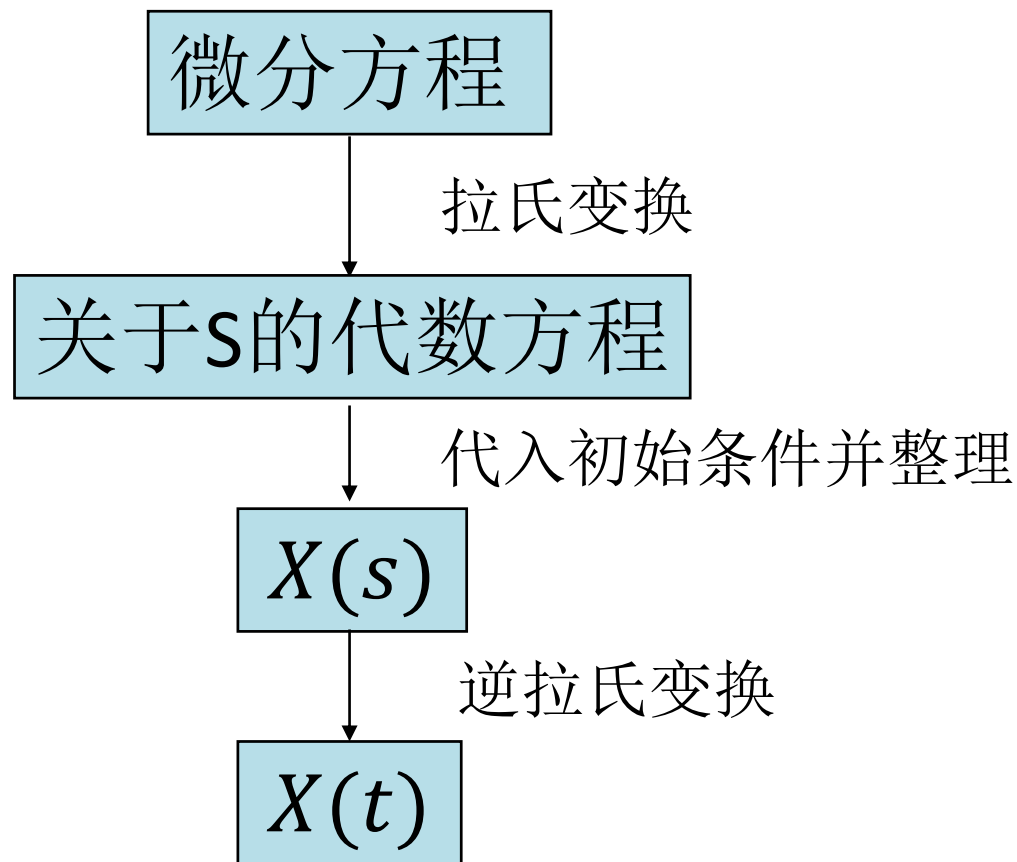
解微分方程分析系统的输出响应很麻烦
能否不解微分方程进行系统分析？

--引申出新的概念---传递函数

- 定义：线性定常系统的传递函数，在零初始条件下，系统输出量的拉氏变换与输入量的拉氏变换之比。

$$\text{传递函数} = \frac{\text{输出信号的拉氏变换}}{\text{输入信号的拉氏变换}} \bigg|_{\text{零初始条件}} = \frac{C(s)}{R(s)}$$

用拉氏变换求解微分方程



2.5 线性系统的传递函数 (Transfer Function)

- 例：弹簧-质量-阻尼系统

其传递函数为

$$M \frac{d^2 y(t)}{dt^2} + b \frac{dy(t)}{dt} + ky(t) = r(t)$$

$$M(s^2 Y(s) - sy(0^-) - \frac{dy(0^-)}{dt}) + b(sY(s) - y(0^-)) + kY(s) = R(s)$$

$$\frac{\text{output}}{\text{input}} = G(s) = \frac{Y(s)}{R(s)} = \frac{1}{Ms^2 + bs + k}$$

传递函数的性质

- 性质1 传递函数是复变量 s 的有理真分式函数， $m \leq n$ ，且具有复变量函数的所有性质。（物理可实现）
- 性质2 $G(s)$ 取决于系统的结构和参数，与输入量的形式和初始条件等外部因素无关，可见传递函数有效地描述了系统的固有特性。
- 性质3 $G(s)$ 虽然描述了输出与输入之间的关系，但它不提供任何该系统的物理结构。因为许多不同的物理系统具有完全相同的传递函数。

性质4 传递函数与微分方程之间有联系

$$G(s) = \frac{C(s)}{R(s)}$$

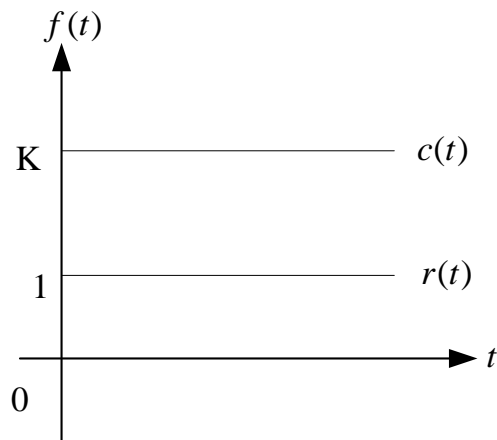
如果将 $s \Leftrightarrow \frac{d}{dt}$ 置换， 传递函数 \Leftrightarrow 微分方程

典型环节的传递函数

- 1、比例环节：成比例的复现输入信号

微分方程： $c(t) = K r(t)$

传递函数： $G(s) = K$



实例有：放大器、减速机、杠杆机构等

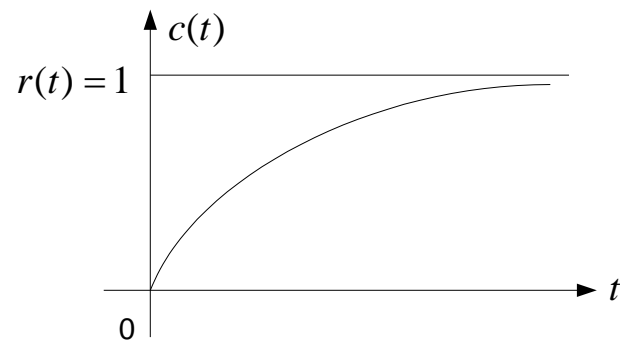
典型环节的传递函数

- 2、惯性环节：输出量延缓地反应输入量的变化规律

微分方程：
$$T \frac{dc(t)}{dt} + c(t) = r(t)$$

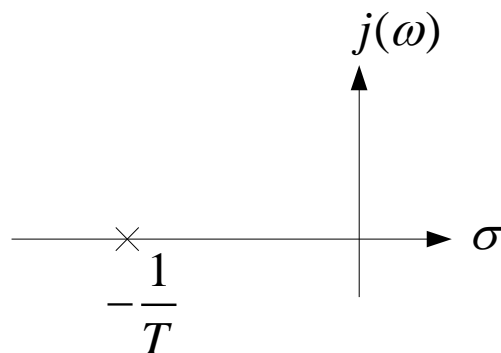
传递函数：
$$Ts \ c(s) + c(s) = R(s)$$

$$G(s) = \frac{1}{Ts + 1}$$

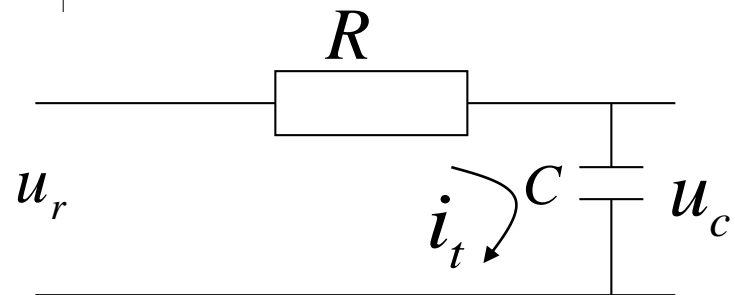


T 为惯性环节时间常数

零、极点图：



RC滤波网络属于惯性环节



典型环节的传递函数

3.积分环节：输出量为输入量的积分--具有记忆功能，用来改善系统的稳态性能。

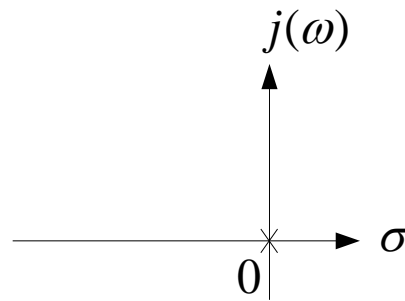
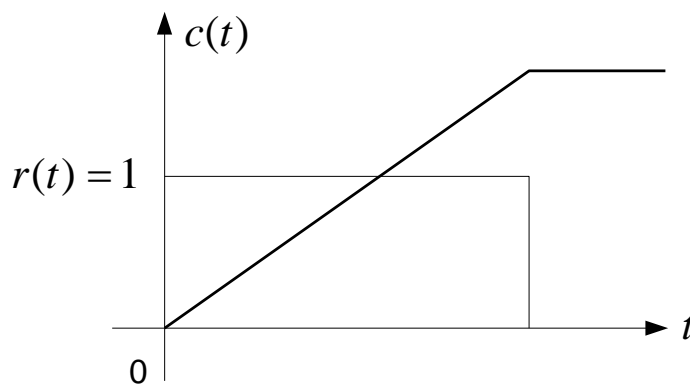
微分方程为：
$$c(t) = \frac{1}{T} \int_0^t r(\tau) d\tau$$

传递函数为：
$$C(s) = \frac{1}{Ts} \cdot R(s)$$

$$G(s) = \frac{1}{Ts}$$

T 为积分时间常数

零、极点图



典型环节的传递函数

4、微分环节：输出量为输入量的微分—预示输入信号的变化趋势，监测系统的动态行为。

微分方程为：
$$c(t) = \frac{dr(t)}{dt}$$

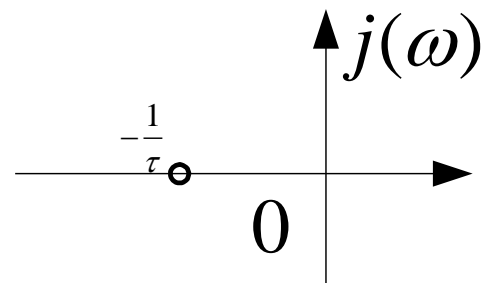
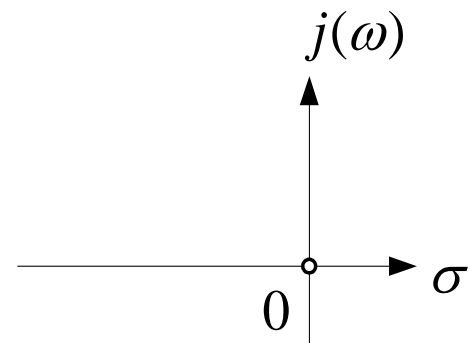
传递函数为：
$$C(s) = s \cdot R(s)$$

$$G(s) = s$$

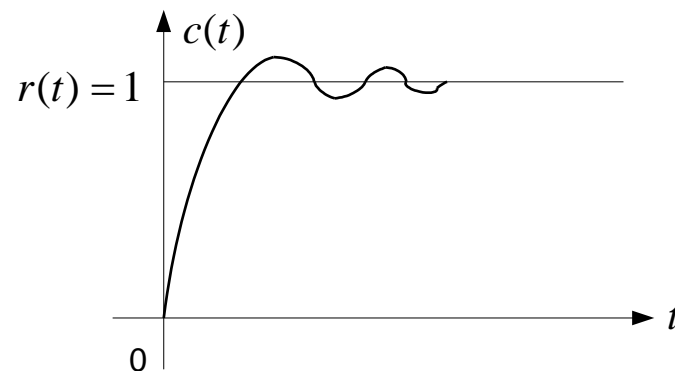
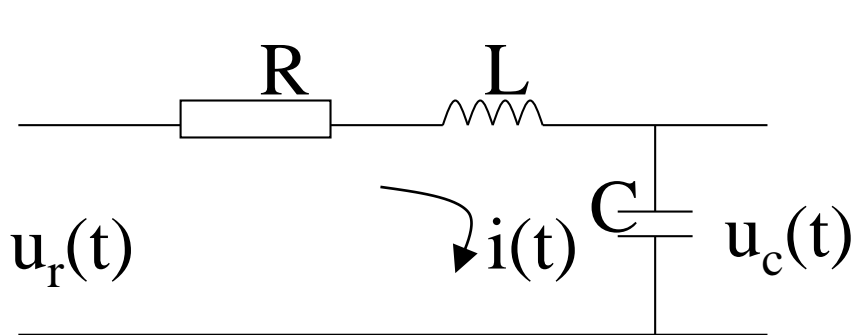
一阶微分方程为：
$$c(t) = \tau \frac{dr(t)}{dt} + r(t)$$

$$G(s) = \tau s + 1$$

零、极点图：



5.振荡环节：有两个储能元件，在运动过程中能量相互交换，输出带有振荡特性。



微分方程为：
$$LC \frac{d^2 c(t)}{dt^2} + RC \frac{dc(t)}{dt} + c(t) = r(t)$$

传递函数为：
$$G(s) = \frac{1}{LCs^2 + RCs + 1} = \frac{\omega_n^2}{s^2 + 2\xi\omega_n s + \omega_n^2}$$

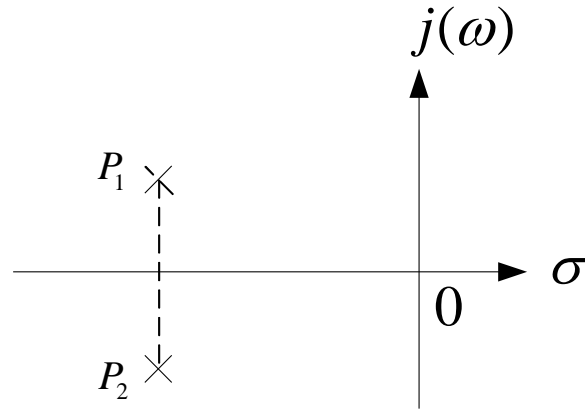
令： $\omega_n = \frac{1}{\sqrt{LC}}$ 称为自然振荡（无阻尼）角频率

$\xi = \frac{1}{2} R \sqrt{\frac{C}{L}}$ 为阻尼系数

$0 < \xi < 1$ 时衰减振荡
 $\xi > 1$ 单调增

5.振荡环节：有两个储能元件，在运动过程中能量相互交换，输出带有振荡特性。

零、极点图：



振荡环节有一对位于S左半平面的共轭极点：

$$p_{1,2} = -\xi\omega_n \pm j\omega_n \sqrt{1-\xi^2}$$

弹簧 - 质量 - 阻尼器串联系统也属于这一类：

$$G(s) = \frac{Y(s)}{F(s)} = \frac{1}{ms^2 + fs + 1}$$

典型环节的传递函数

6.延迟环节：输出端要隔一定时间后才能复现输入信号

微分方程为： $c(t) = r(t - \tau)$

传递函数为： $G(s) = e^{-\tau s}$ τ 为延迟时间

当延迟时间很小时可得：

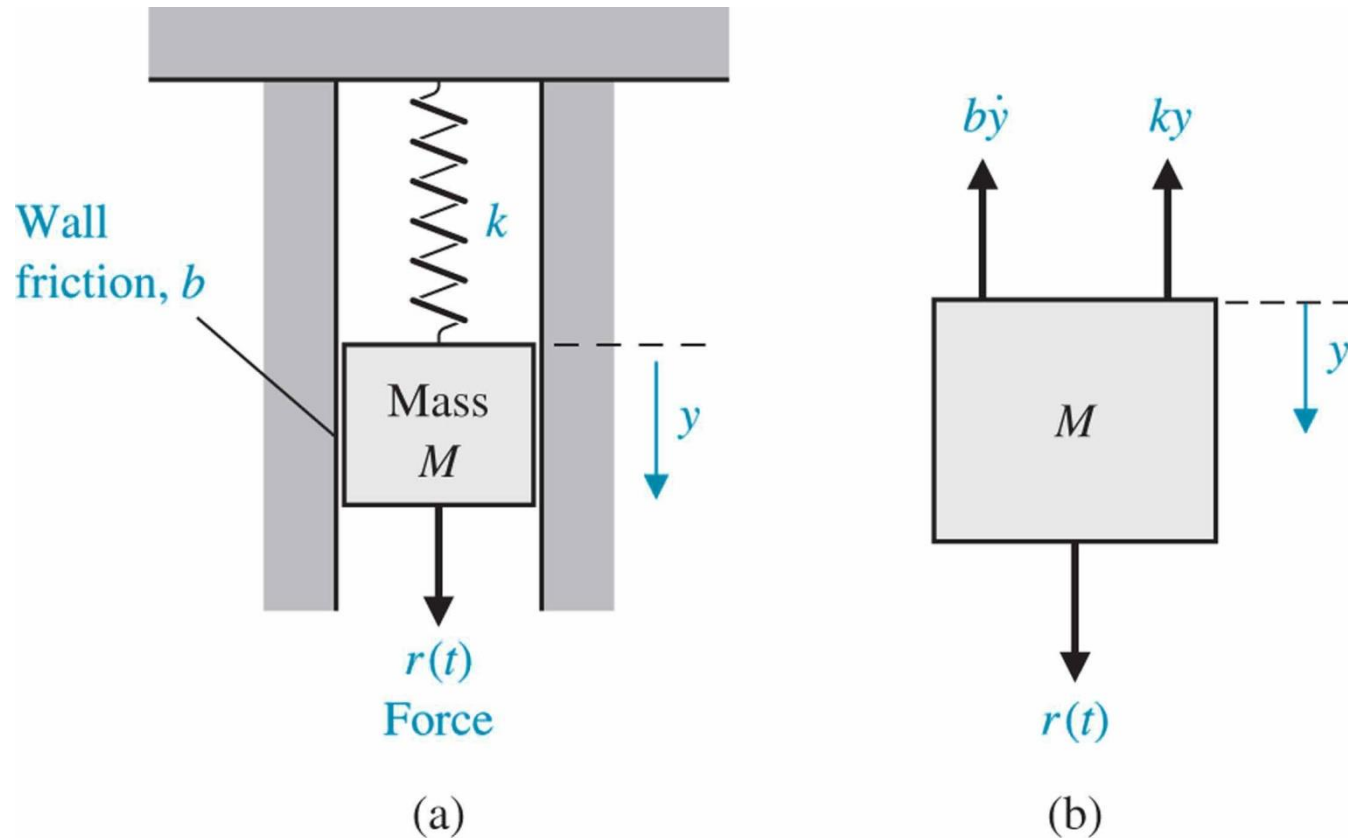
$$G(s) \approx \frac{1}{\tau s + 1}$$

特点：输出量能准确复现输入量，但须延迟一段时间。

实例：管道压力、流量、皮带运输等物理量的控制，其数学模型就包含有延迟环节。

实例：弹簧-质量-阻尼系统

Spring-mass-damper system



Copyright © 2011 Pearson Education, Inc. publishing as Prentice Hall

图2.2 (a) 弹簧-质量-阻尼系统 (b) 质量的运动分析图

弹簧-质量-阻尼系统

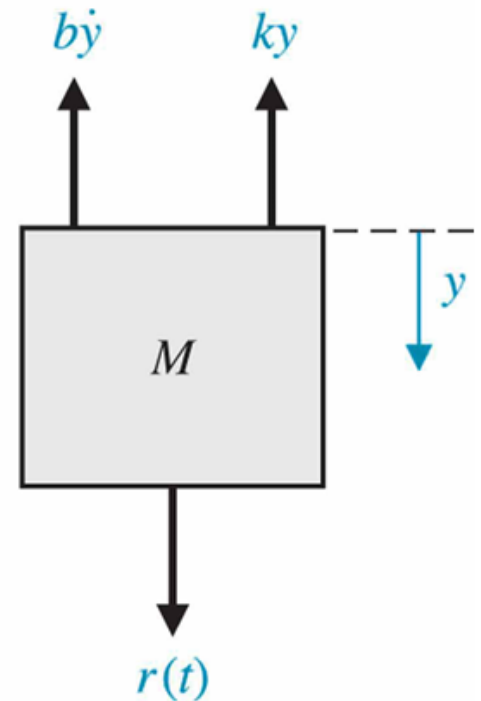
Spring-mass-damper system

在质量块-弹簧-阻尼器系统中，分析质量块M的受力情况，有牛顿第二定律可得：

$$M \frac{d^2 y(t)}{dt^2} + b \frac{dy(t)}{dt} + ky(t) = r(t)$$

令 $v(t) = \frac{dy(t)}{dt}$

$$M \frac{dv(t)}{dt} + bv(t) + k \int_0^t v(t) dt = r(t)$$



弹簧-质量-阻尼系统 (1)

考虑 (2.1) 式所示的方程: $M \frac{d^2 y}{dt^2} + b \frac{dy}{dt} + ky = r(t)$

Laplace 变换得:

$$M(s^2 Y(s) - sy(0^-) - \frac{dy(0^-)}{dt}) + b(sY(s) - y(0^-)) + kY(s) = R(s)$$

当 $r(t) = 0$, $y(0^-) = y_0$ 及 $\frac{dy}{dt}|_{t=0^-} = 0$

有 $Ms^2 Y(s) - Msy_0 + bsY(s) - by_0 + kY(s) = 0$

弹簧-质量-阻尼系统 (2)

由 $Ms^2Y(s) - Msy_0 + bsY(s) - by_0 + kY(s) = 0$

解 $Y(s)$ 得 $Y(s) = \frac{(Ms + b)y_0}{Ms^2 + bs + k} = \frac{p(s)}{q(s)}$

当 $\frac{k}{M} = 2$, $\frac{b}{M} = 3$, 则 $Y(s) = \frac{(s+3)y_0}{(s+1)(s+2)}$

用部分分式法展开, 设 $Y(s) = \frac{k_1}{s+1} + \frac{k_2}{s+2}$

弹簧-质量-阻尼系统 (3)

当 $y_0 = 1$, 有

$$\begin{aligned} k_1 &= \frac{(s - s_1)p(s)}{q(s)} \Big|_{s=s_1} \\ &= \frac{(s+1)(s+3)}{(s+1)(s+2)} \Big|_{s_1=-1} = 2 \end{aligned}$$

又 $k_2 = -1$, 则

$$y(t) = \mathcal{L}^{-1}\left\{\frac{2}{s+1}\right\} + \mathcal{L}^{-1}\left\{\frac{-1}{s+2}\right\}$$

解得

$$y(t) = 2e^{-t} - e^{-2t}$$

解线性系统微分方程

考虑下面的微分方程

$$\frac{d^n y}{dt^n} + q_{n-1} \frac{d^{n-1} y}{dt^{n-1}} + \cdots + q_0 y = p_{n-1} \frac{d^{n-1} r}{dt^{n-1}} + p_{n-2} \frac{d^{n-2} r}{dt^{n-2}} + \cdots + p_0 r$$

在零初始条件下，系统可用传递函数表示为

$$Y(s) = G(s)R(s) = \frac{p(s)}{q(s)} R(s) = \frac{(p_{n-1}s^{n-1} + p_{n-2}s^{n-2} + \cdots + p_0)}{(s^n + q_{n-1}s^{n-1} + \cdots + q_0)} R(s)$$

完整的输出响应包括**零输入响应**（由初始状态决定）和由输入作用激励的**零状态响应**。于是：

$$Y(s) = \frac{m(s)}{q(s)} + \frac{p(s)}{q(s)} R(s)$$

其中 $q(s)=0$ 构成了系统的特征方程。

解线性系统微分方程

若输入具有有理式的形式： $R(s) = \frac{n(s)}{d(s)}$

$$\text{则 } Y(s) = \frac{m(s)}{q(s)} + \frac{p(s)}{q(s)} \frac{n(s)}{d(s)} = Y_1(s) + Y_2(s) + Y_3(s) \quad (2.46)$$

- $Y_1(s)$: 零输入响应的部分分式展开式
- $Y_2(s)$: 部分分式展开式中与 $q(s)$ 的因式有关的部分分式
- $Y_3(s)$: 部分分式展开式中与 $d(s)$ 的因式有关的部分分式

解线性系统微分方程

若对式（2.46）作Laplace逆变换可得

$$y(t) = y_1(t) + y_2(t) + y_3(t)$$

- 瞬态响应为 $y_1(t) + y_2(t)$
- 稳态响应为 $y_3(t)$

例2.2 一个微分方程的解

- 考虑下述微分方程所描述的系统：

$$\frac{d^2 y}{dt^2} + 4 \frac{dy}{dt} + 3y = 2r(t)$$

其中初始条件为 $y(0) = 1, \frac{dy}{dt} \Big|_{t=0} = 0$,

输入激励为 $t \geq 0$ 时 $r(t) = 1$

例2.2 一个微分方程的解

- 由 *Laplace* 变换可得:

$$[s^2 Y(s) - sy(0)] + 4[sY(s) - y(0)] + sY(s) = 2R(s)$$

- 由于 $R(s) = \frac{1}{s}$, $y(0) = 1$, 故有:

$$Y(s) = \frac{s+4}{s^2+4s+3} + \frac{2}{s^2+4s+3} \cdot \frac{1}{s}$$

其中 $q(s) = s^2 + 4s + 3 = (s+3)(s+1) = 0$ 为特征方程,
而 $d(s) = s$

例2.2 一个微分方程的解

- 于是 $Y(s)$ 的部分分式展开式为:

$$\begin{aligned} Y(s) &= \left[\frac{3/2}{s+1} + \frac{-1/2}{s+3} \right] + \left[\frac{-1}{s+1} + \frac{1/3}{s+3} \right] + \frac{2/3}{s} \\ &= Y_1(s) + Y_2(s) + Y_3(s) \end{aligned}$$

- 时间响应函数则为:

$$y(t) = \left[\frac{3}{2}e^{-t} - \frac{1}{2}e^{-3t} \right] + \left[-e^{-t} + \frac{1}{3}e^{-3t} \right] + \frac{2}{3}$$

- 可见, 系统的稳态响应为 $\frac{2}{3}$

例2.3 运算放大器电路的传递函数

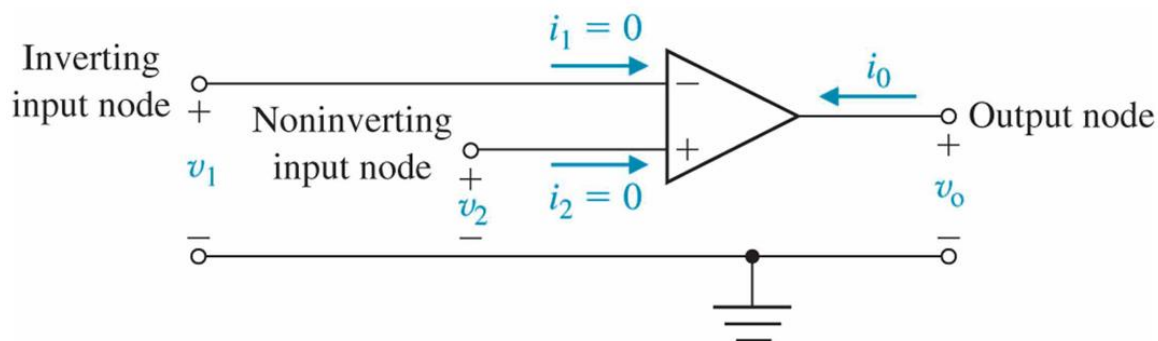


图2.14 理想的运算放大器

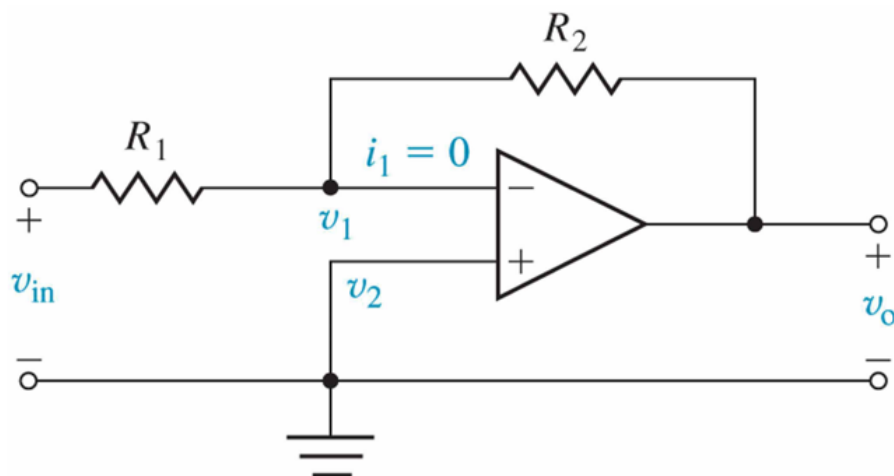
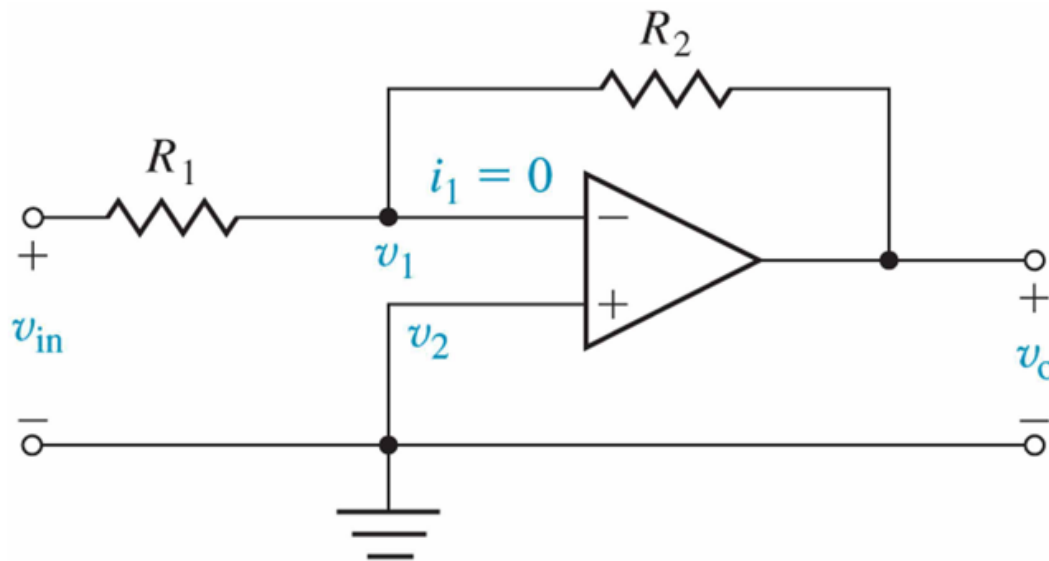


图2.15 工作在理想条件下的倒相放大器

例2.3 运算放大器电路的传递函数



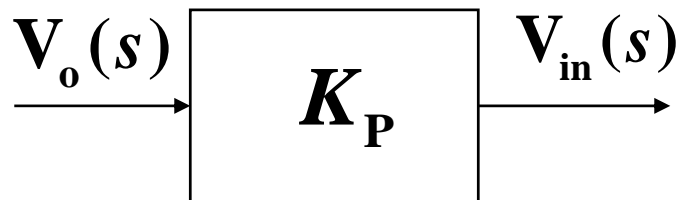
$$\text{解: } \frac{v_1 - v_{in}}{R_1} + \frac{v_1 - v_o}{R_2} = 0$$

理想情况下: $v_1 = v_2 = 0$

$$\text{因此 } -\frac{v_{in}}{R_1} - \frac{v_o}{R_2} = 0$$

例2.3 运算放大器电路的传递函数

由此导出
$$\frac{V_o(s)}{V_{in}(s)} = -\frac{R_2}{R_1} = K_P$$



这个结论可以推广为：当负反馈端作为输入时，运算放大器的传递函数等于负的反反馈复阻抗与输入复阻抗之比
(自动控制中常用负极性端作为输入端)

例2.4 相似系统的传递函数

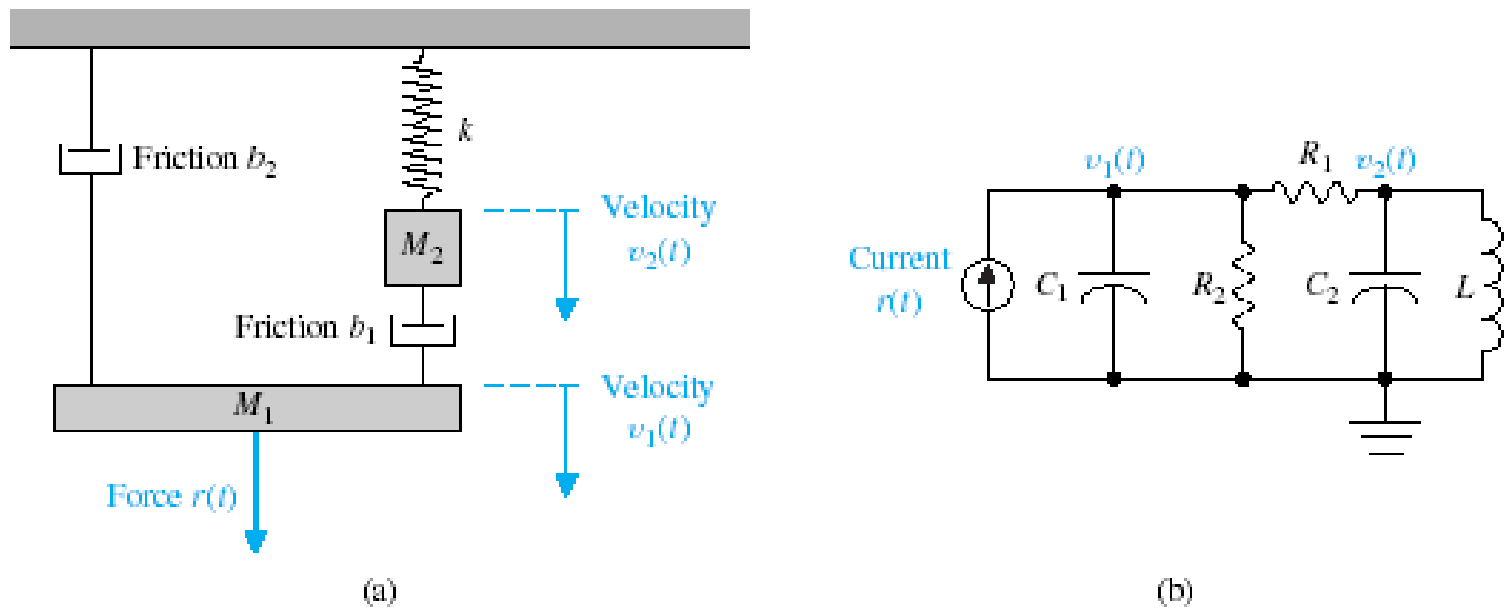
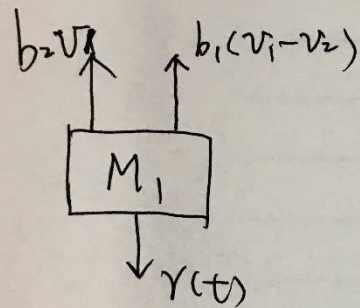
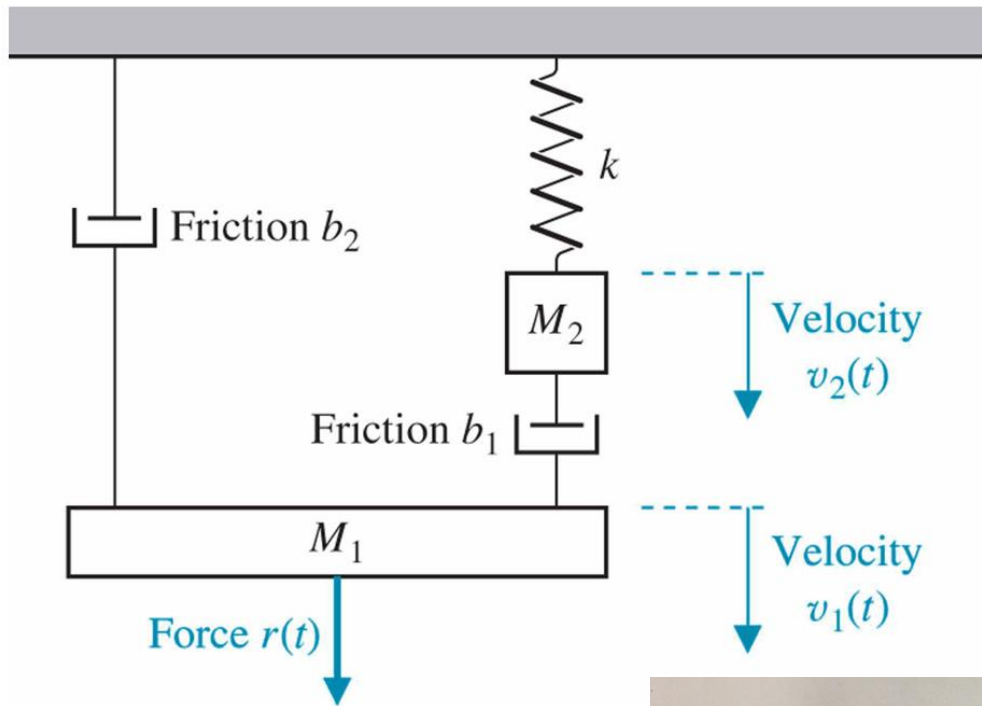
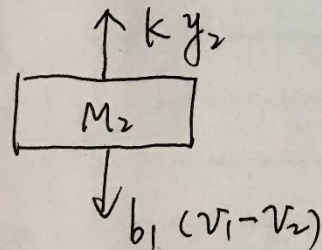


图2.16 (a) 双质量机械系统 (b) 相似的双节点电路系统

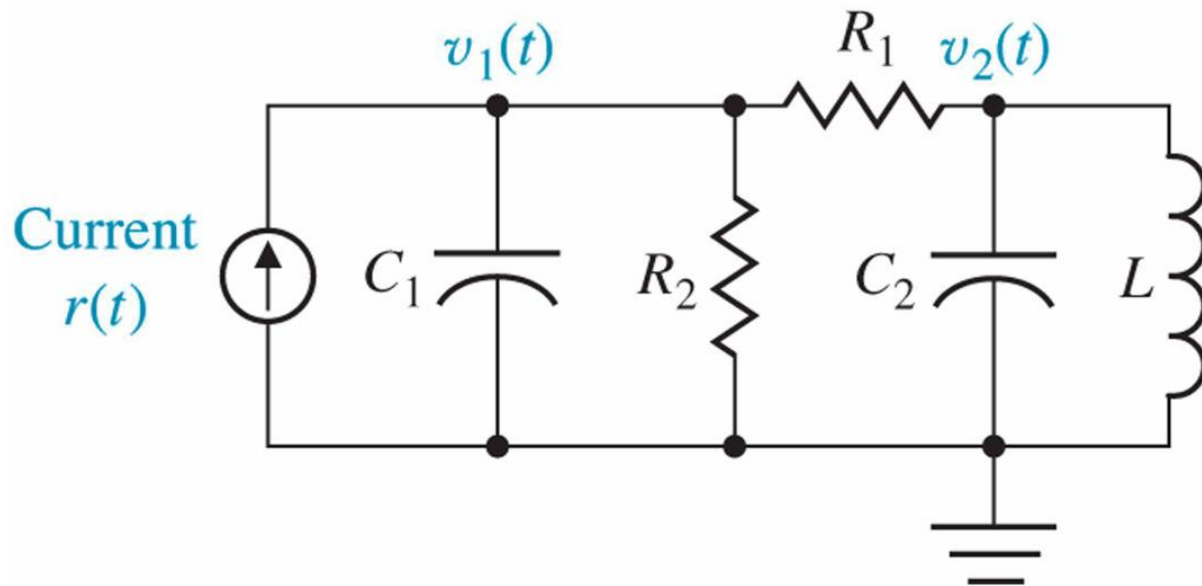
$$C_1 = M_1, C_2 = M_2, L = 1/K, R_1 = 1/b_1, R_2 = 1/b_2$$



$$r(t) = M_1 \frac{dv_1(t)}{dt} + b_2 v_1(t) + b_1 (v_1(t) - v_2(t)) \quad (1)$$



$$b_1 (v_1(t) - v_2(t)) = k \int v_2(t) dt + M_2 \frac{dv_2(t)}{dt} \quad (2)$$

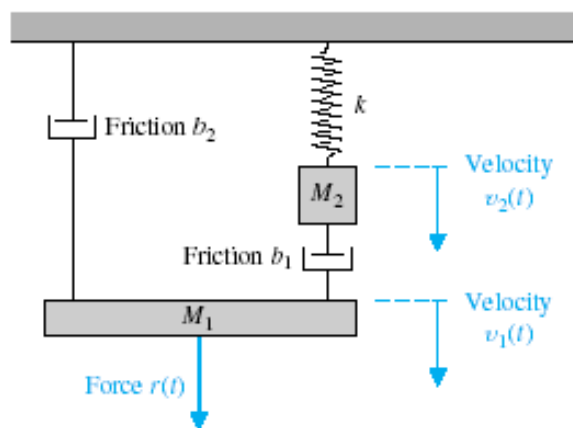


$$r(t) = C_1 \frac{dv_1(t)}{dt} + \frac{v_1(t)}{R_2} + \frac{v_1(t) - v_2(t)}{R_1} \quad (1)$$

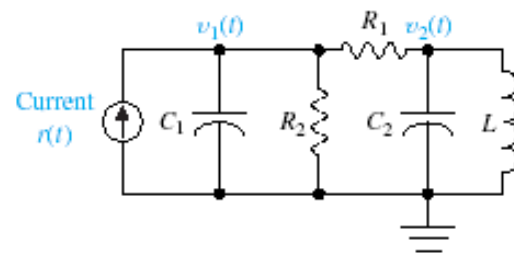
直流源

$$\dot{i}_L + \dot{i}_{C_2} = \dot{i}_{R_1} \quad (2)$$

$$\rightarrow \frac{1}{L} \int v_2(t) dt + C_2 \frac{dv_2(t)}{dt} = \frac{v_1(t) - v_2(t)}{R_1} \quad (2)$$



(a)



(b)

$$C_1 = M_1, C_2 = M_2, L = 1/K, R_1 = 1/b_1, R_2 = 1/b_2$$

- 上述机械（电气）系统的传递函数为：

$$\begin{aligned} \frac{R(s)}{V_1(s)} &= M_1 s + b_2 + b_1 \parallel (M_2 s + k / s) \\ &= M_1 s + b_2 + \frac{(M_2 s + k / s) b_1}{M_2 s + k / s + b_1} \\ &= \frac{(M_1 s + b_2)(M_2 s + k / s + b_1) + (M_2 s + k / s) b_1}{M_2 s + k / s + b_1} \\ \frac{V_1(s)}{R(s)} &= \frac{M_2 s + k / s + b_1}{(M_1 s + b_2)(M_2 s + k / s + b_1) + (M_2 s + k / s) b_1} \end{aligned}$$

例2.4 相似系统的传递函数

- 或者

$$\frac{V_1(s)}{R(s)} = \frac{1}{M_1 s} \parallel \frac{1}{b_2} \parallel \left(\frac{1}{b_1} + \frac{1}{M_2 s} \parallel \frac{s}{k} \right)$$

$$\frac{V_1(s)}{R(s)} = \frac{(M_2 s^2 + k + b_1 s)}{M_1 M_2 s^3 + (M_1 b_1 + b_1 M_2 + M_2 b_2) s^2 + (M_1 k + b_2 b_1) s + b_1 k + b_2 k}$$

对照表

机械系统			电路系统		
	微分方程	laplace		微分方程	laplace
力	$\sum_n F_n = 0$		电流	$\sum_n i_n = 0$	
速度	$\sum_i v_i = 0$		电压	$\sum_i V_i = 0$	
质量	$r(t) = M \frac{dv}{dt}$	$\frac{V(s)}{R(s)} = \frac{1}{Ms}$	电容	$r(t) = C \frac{dv}{dt}$	$\frac{V(s)}{R(s)} = \frac{1}{Cs}$
弹簧	$r(t) = k \int v dt$	$\frac{V(s)}{R(s)} = \frac{s}{k}$	电感	$r(t) = \frac{1}{L} \int v dt$	$\frac{V(s)}{R(s)} = Ls$
阻尼	$r(t) = bv(t)$	$\frac{V(s)}{R(s)} = \frac{1}{b}$	电阻	$r(t) = \frac{1}{R} v(t)$	$\frac{V(s)}{R(s)} = R$

对照表

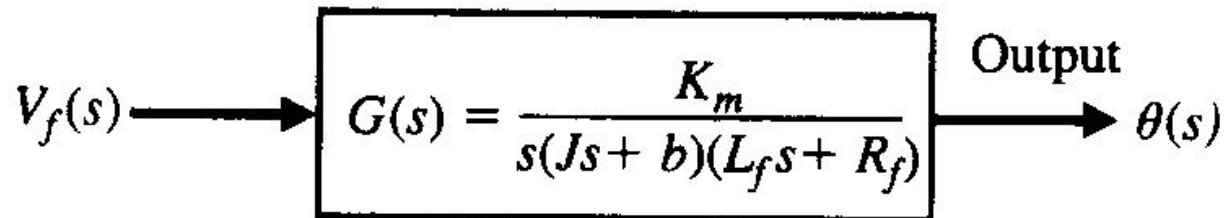
机械系统			电路系统		
	$V(s)/F(s)$	$F(s)/V(s)$		$V(s)/I(s)$	$I(s)/V(s)$
质量	$1/Ms$	Ms	电容	$1/Cs$	Cs
弹簧	s/k	k/s	电感	Ls	$1/Ls$
阻尼	$1/b$	b	电阻	R	$1/R$

作业

- Page 107: P2.22
- Page 108: P2.26
- Page 115: P2.50

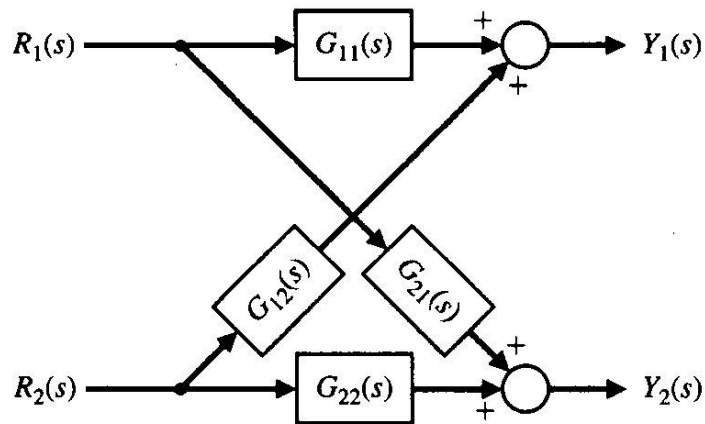
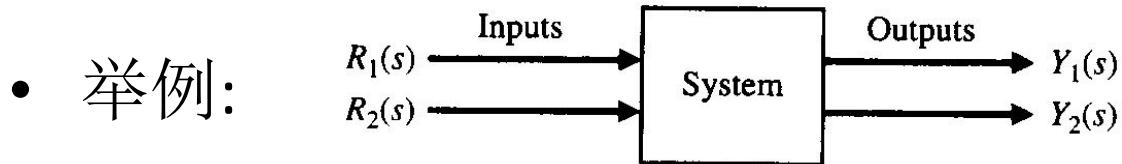
2.6 框图 (Block diagrams) 模型

- 定义:
 - 由单方向功能方框组成的一种结构图，这些方框代表了系统元件的传递函数。
- 举例:
 - 磁场电流控制电机



2.6 框图 (Block diagrams) 模型

- 多个受控变量的系统

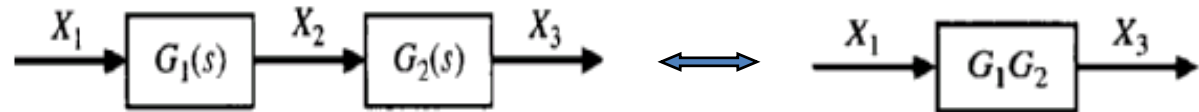


$$Y_1(s) = G_{11}(s)R_1(s) + G_{12}(s)R_2(s)$$

$$Y_2(s) = G_{21}(s)R_1(s) + G_{22}(s)R_2(s)$$

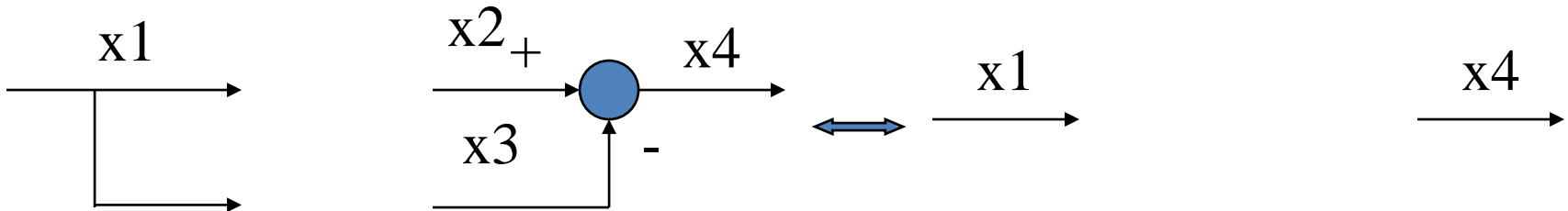
串联与并联

- 串联:



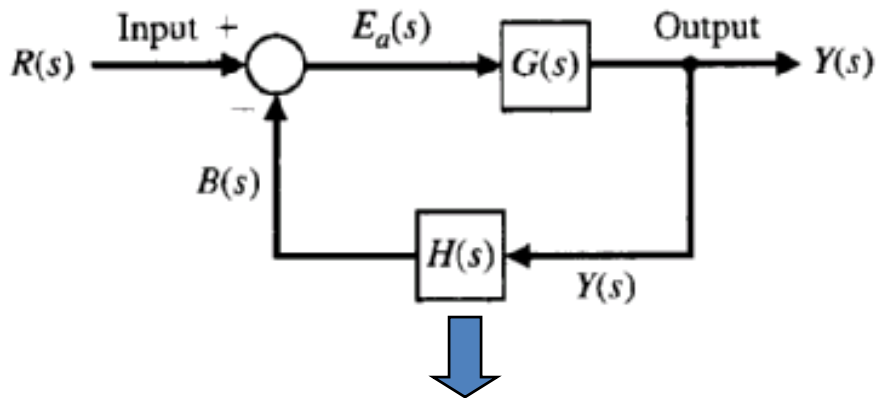
- 并联:

$$X_3(s) = G_2(s)X_2(s) = G_1(s)G_2(s)X_1(s)$$



$$X_4(s) = X_2(s) + X_3(s) = G_1(s)X_1(s) + G_2(s)X_1(s) = (G_1(s) + G_2(s))X_1(s)$$

负反馈系统



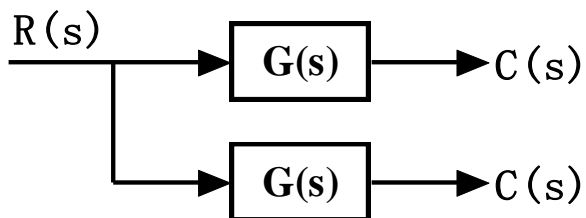
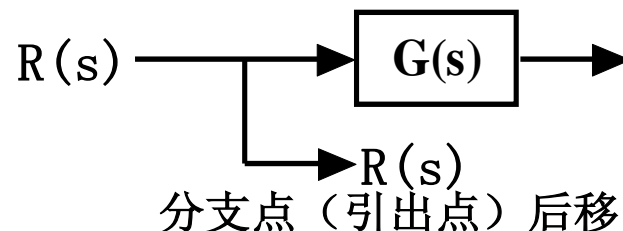
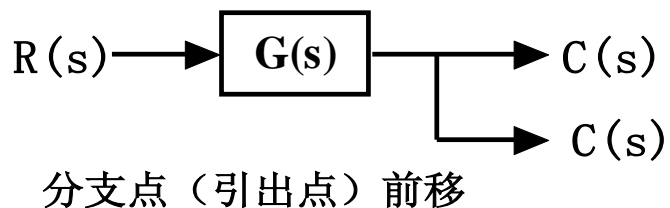
$$E_a(s) = R(s) - B(s) = R(s) - H(s)Y(s)$$

$$Y(s) = G(s)E_a(s)$$

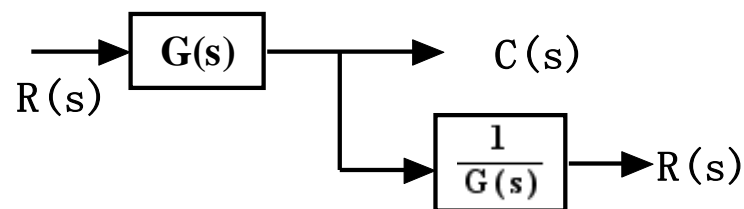
$$Y(s)[1 + G(s)H(s)] = G(s)R(s)$$

结构图的变位变换

(1) 分支点的移动(前乘, 后除)

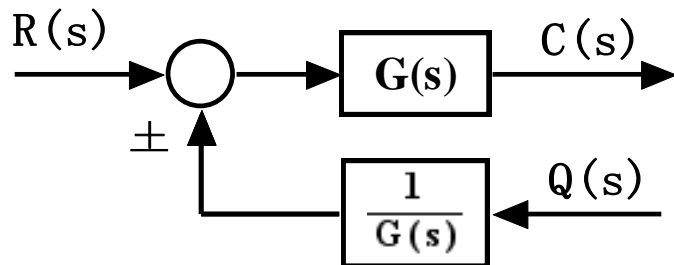
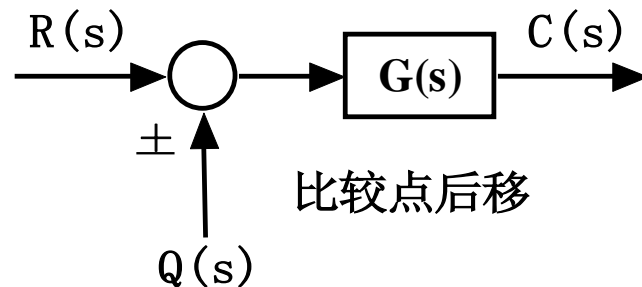
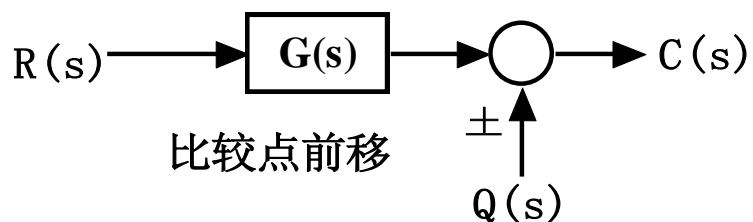


$$C(s) = R(s)G(s)$$



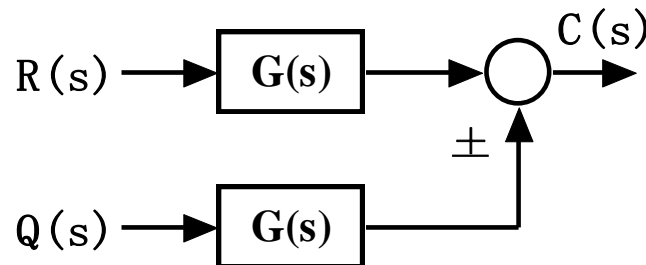
$$R(s) = R(s)G(s)\frac{1}{G(s)} = R(s)$$

(2) 比较点的移动(前除, 后乘)



$$C(s) = R(s)G(s) \pm Q(s)$$

$$= \left[R(s) + \frac{Q(s)}{G(s)} \right] G(s)$$



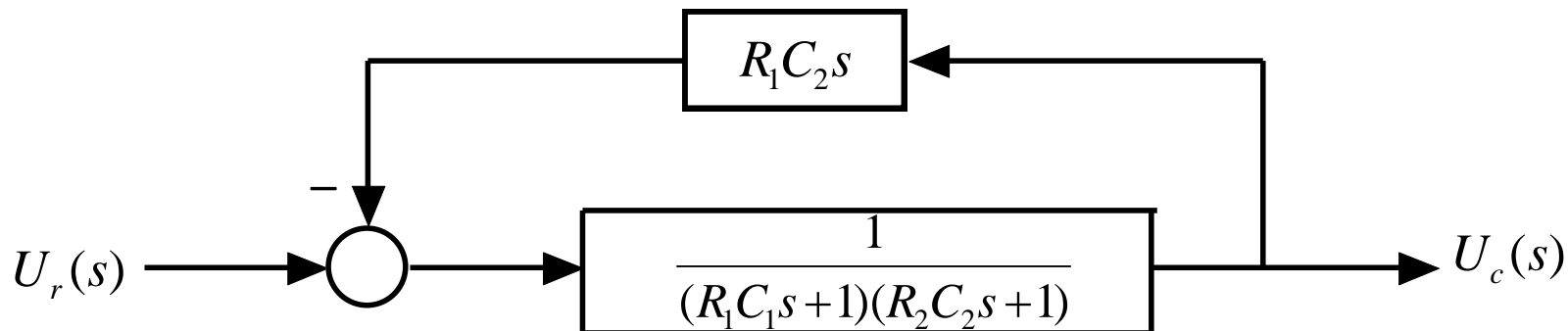
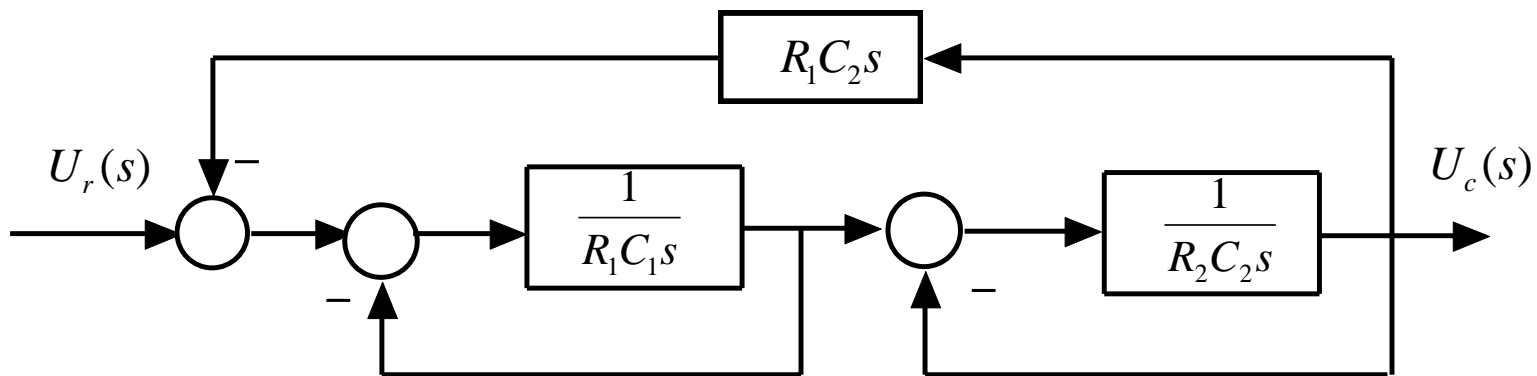
$$C(s) = [R(s) \pm Q(s)]G(s)$$

$$= R(s)G(s) \pm Q(s)G(s)$$

表2.6 框图的基本变换

Transformation	Original Diagram	Equivalent Diagram
1. Combining blocks in cascade 合并串联方框		
2. Moving a summing point behind a block 相加点后移		
3. Moving a pickoff point ahead of a block 分支点前移		
4. Moving a pickoff point behind a block 分支点后移		
5. Moving a summing point ahead of a block 相加点前移		
6. Eliminating a feedback loop 消去反馈回路		

方框图化简



例 2.7 方框图化简

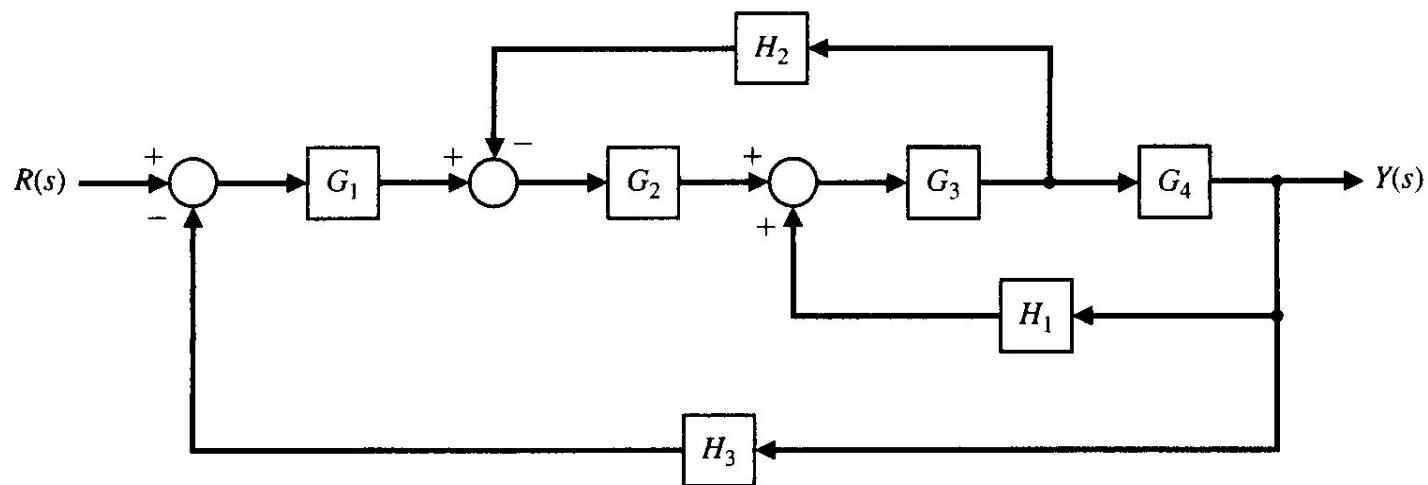
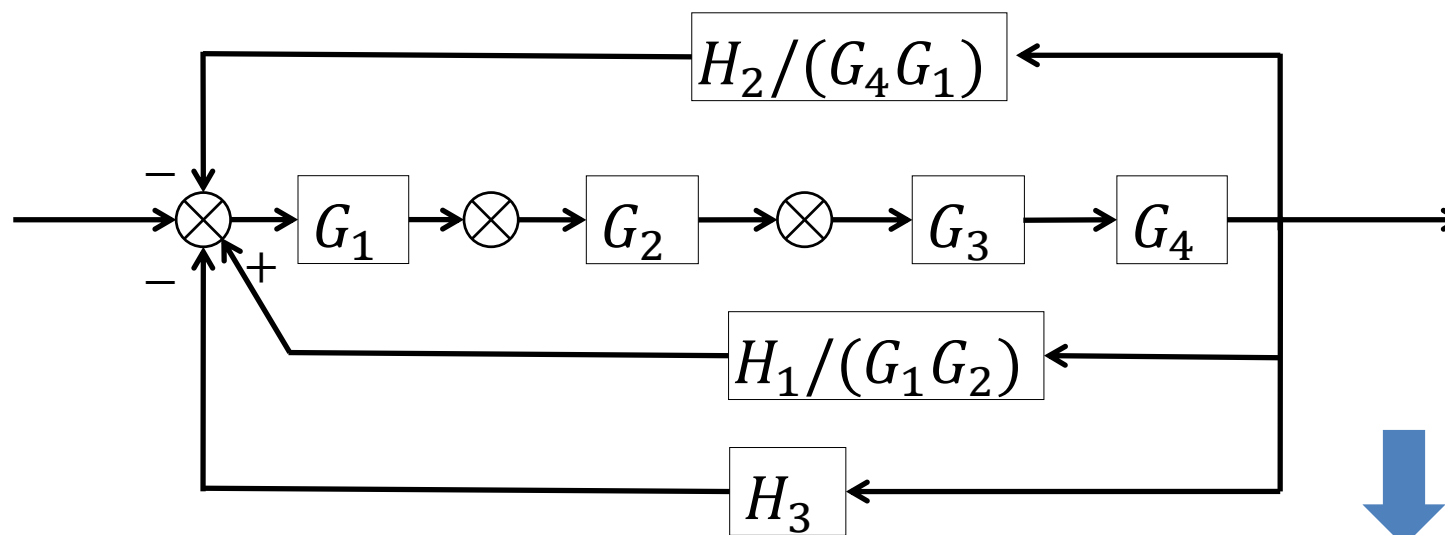
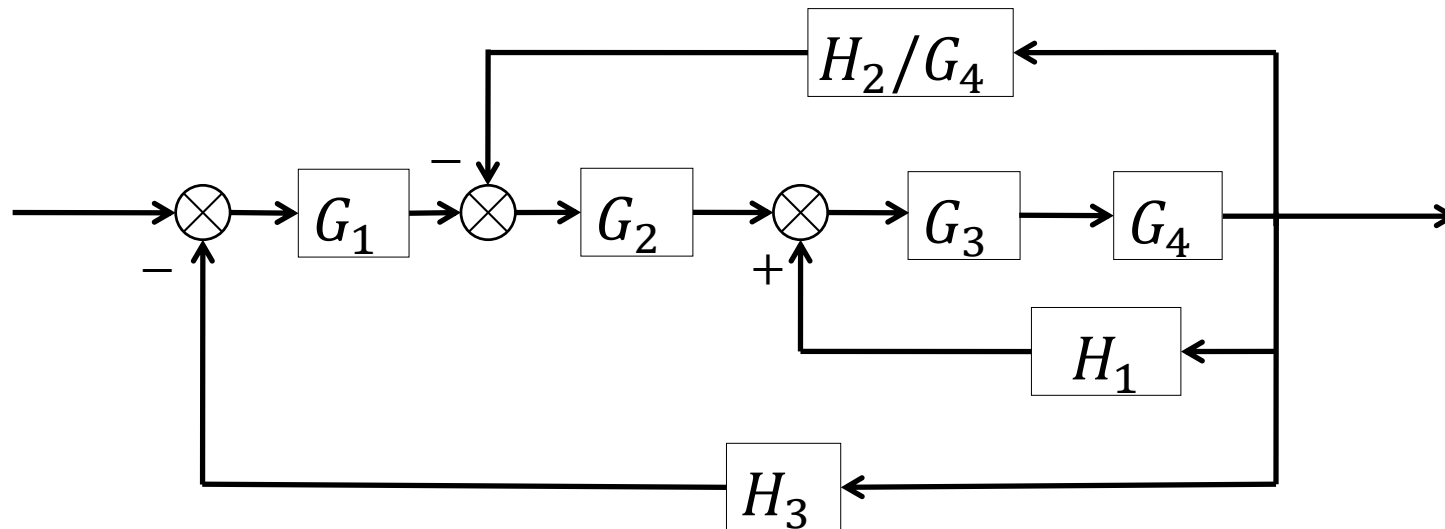
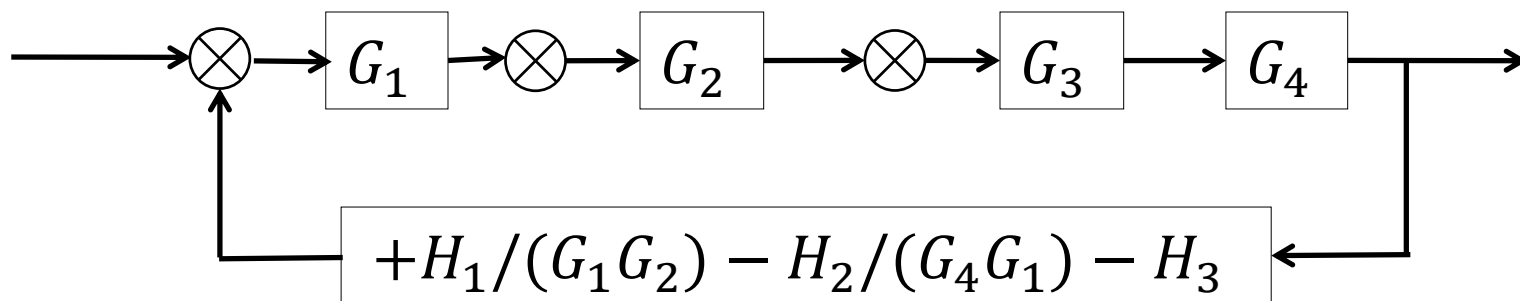


图2.26 多回路反馈控制系统





$$\frac{G_1 G_2 G_3 G_4}{1 - G_1 G_2 G_3 G_4 \left(\frac{H_1}{G_1 G_2} - \frac{H_2}{G_4 G_1} - H_3 \right)}$$



$$\frac{G_1 G_2 G_3 G_4}{1 - G_3 G_4 H_1 + G_2 G_3 H_2 + G_1 G_2 G_3 G_4 H_3}$$

- 对于有公共前向传函的闭环传函=
-
- 前向传函之积
-
- 1 ± 不同回路的传函之和

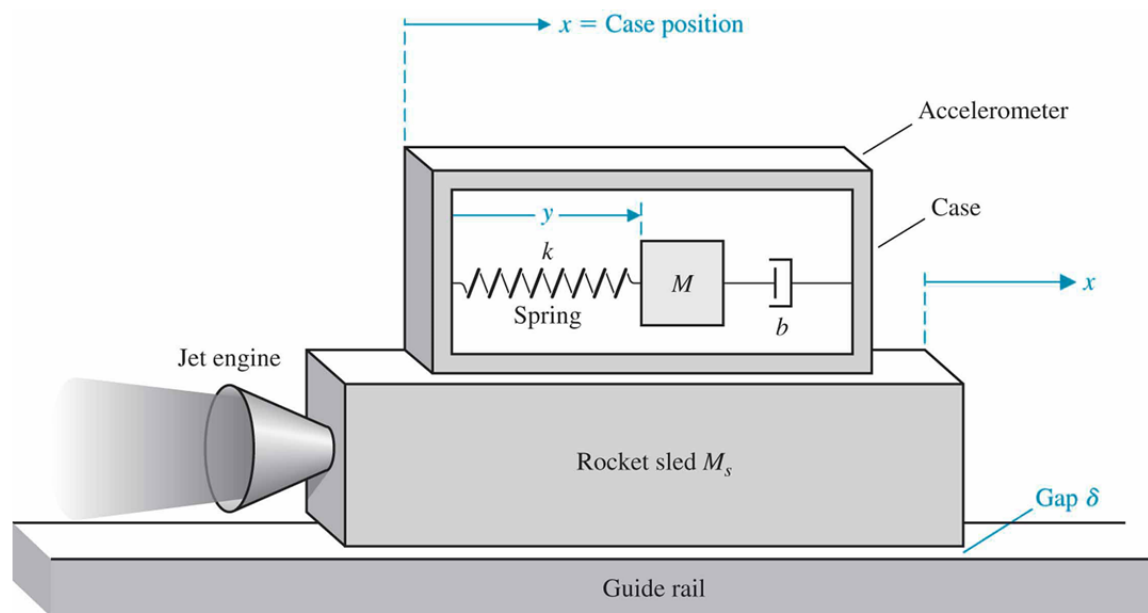
例题

- Page 111: P2.35
- Page 111: P2.36

2.8 设计实例



(a)



(b)

图2.45 (a) 喷气引擎火箭试验撬；
(b) 装在试验撬上的加速度计

2.8 设计实例



图2.47 用于样品准备的实验用机器人

2.8 设计实例

Table 2.9 ORCA Robot Arm Hardware Specifications

Arm	Articulated, Rail-Mounted	Teach Pendant	Joy Stick with Emergency Stop
Degrees of freedom	6	Cycle time	4 s (move 1 inch up, 12 inch across, 1 inch down, and back)
Reach	± 54 cm	Maximum speed	75 cm/s
Height	78 cm	Dwell time	50 ms typical (for moves within a motion)
Rail	1 and 2 m	Payload	0.5 kg continuous, 2.5 kg transient (with restrictions)
Weight	8.0 kg	Vertical deflection	< 1.5 mm at continuous payload
Precision	± 0.25 mm	Cross-sectional work envelope	1 m^2
Finger travel (gripper)	40 mm		
Gripper rotation	± 77 revolutions		

2.8 设计实例

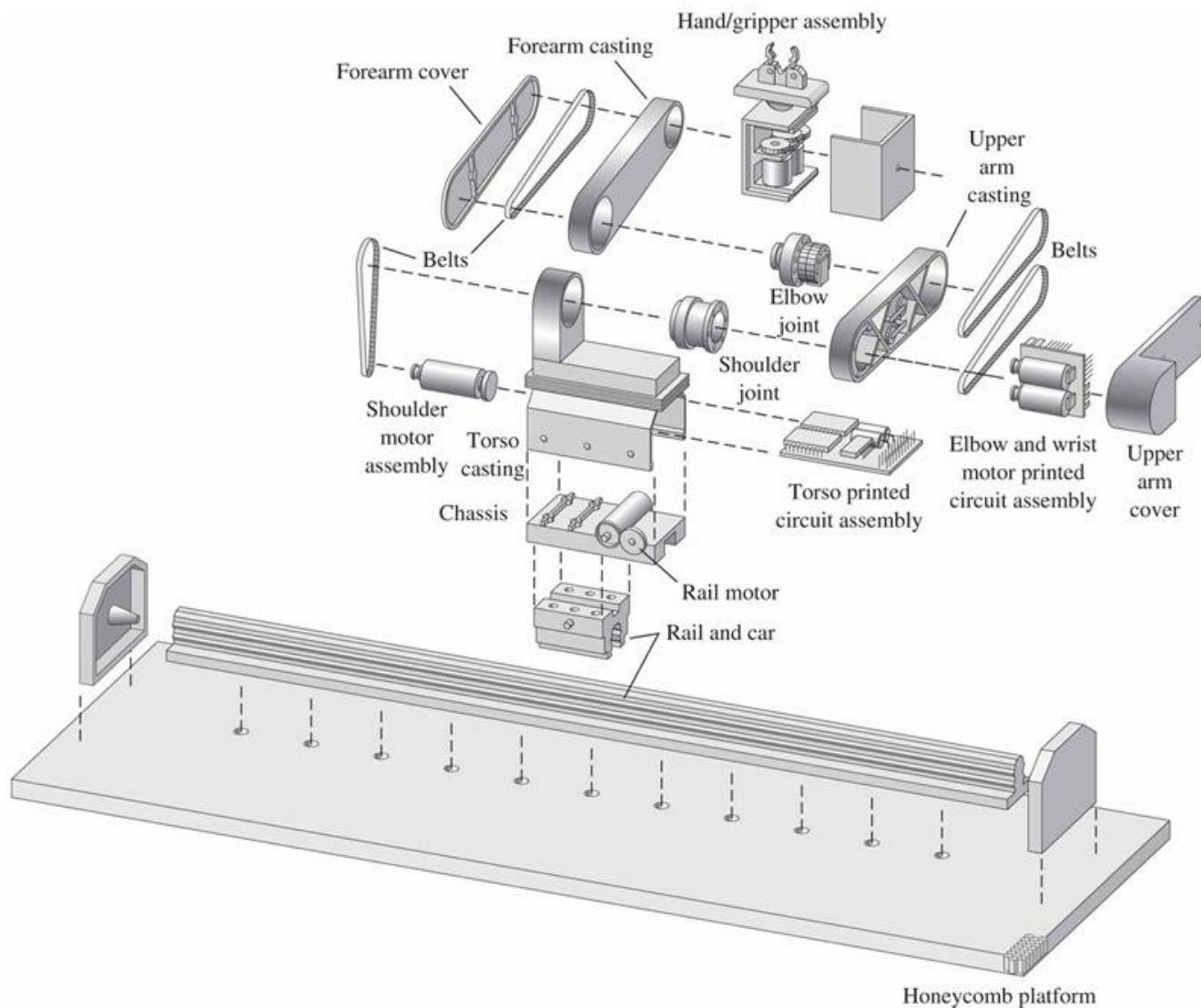


图2.48 ORCA机器人的元件拆分图

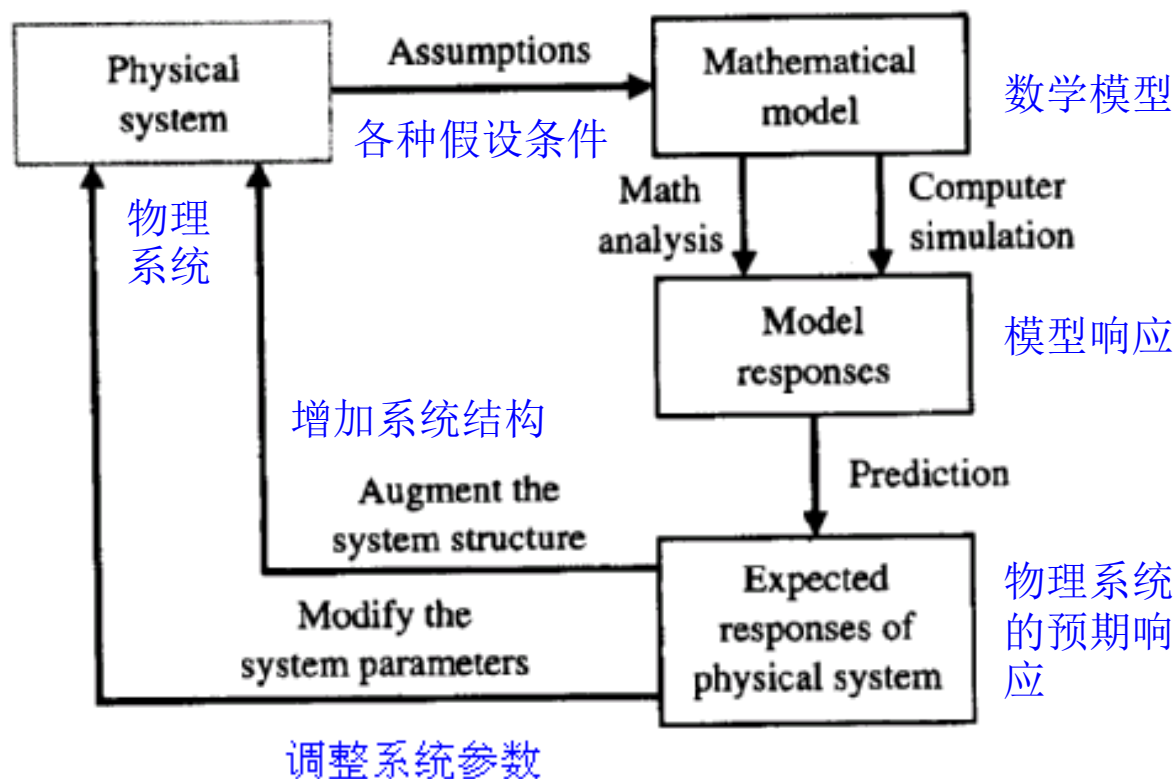
惠普公司的“化学分析优化机器人”



2.9 利用控制系统设计软件进行系统仿真

仿真(Simulation):

通过建立系统模型，利用实际输入信号对系统的行为进行研究的一种模拟活动。



利用系统仿真模型
进行分析和设计

2.9 利用控制系统设计软件进行系统仿真

计算机仿真的好处

- 能大幅度缩减所需时间和费用
- 能在各种假定条件下，甚至是当前无法实现的条件下，对系统进行研究
- 可行的、安全的系统分析和评价技术

利用MATLAB进行系统仿真

Roots: 计算方程的根
Tf: 计算传递函数
Series: 计算串联多项式的传递函数
Parallel: 计算并联多项式的传递函数
Feedback: 计算闭环的传递函数
Zero, Pole : 计算传递函数的零极点

利用MATLAB进行系统仿真

- Poly: 由根重组多项式
- Conv: 计算两个多项式的卷积
- Polyval: 计算一个多项式的值
- Minreal: 消去公因式
- Pzmap: 画零极点图
- Step: 计算系统对单位阶跃输入的响应

1. 系统瞬态响应

质量块-弹簧-阻尼器系统的零输入动态响应

$$y(t) = \frac{y(0)}{\sqrt{1-\zeta^2}} e^{-\zeta\omega_n t} \sin(\omega_n \sqrt{1-\zeta^2} t + \theta)$$

$$y(0) = 0.15m, \quad \theta = \cos^{-1} \zeta, \quad \omega_n = \sqrt{2} \frac{\text{rad}}{\text{sec}}, \quad \zeta_2 = \frac{1}{2\sqrt{2}} \quad \left(\frac{k}{M} = 2, \frac{b}{M} = 1 \right)$$

```
>>y0=0.15;
>>wn=sqrt(2);
>>zeta=1/(2*sqrt(2));
>>t=[0:0.1:10];
>>unforced
```

ω_n

ζ

unforced.m

```
%Compute Unforced Response to an Initial Condition
```

```
%
```

```
c=(y0/sqrt(1-zeta^2));
y=c*exp(-zeta*wn*t).*sin(wn*sqrt(1-zeta^2)*t+acos(zeta));
```

```
%
```

```
bu=c*exp(-zeta*wn*t);bl=-bu;
```

```
%
```

```
plot(t,y,t,bu,'--',t,bl,'--'), grid
```

```
xlabel('Time (s)'), ylabel('y(t) (m)')
```

```
legend(['\omega_n=',num2str(wn), ' \zeta=',num2str(zeta)])
```

$y(0)/\sqrt{1-\zeta^2}$

$e^{-\zeta\omega_n t}$ envelope

1. 系统瞬态响应

$$y(t) = \frac{y(0)}{\sqrt{1-\zeta^2}} e^{-\zeta\omega_n t} \sin(\omega_n \sqrt{1-\zeta^2} t + \theta)$$

$$y(0) = 0.15m, \quad \theta = \cos^{-1} \zeta, \quad \omega_n = \sqrt{2} \frac{\text{rad}}{\text{sec}}, \quad \zeta_2 = \frac{1}{2\sqrt{2}} \quad \left(\frac{k}{M} = 2, \frac{b}{M} = 1 \right)$$

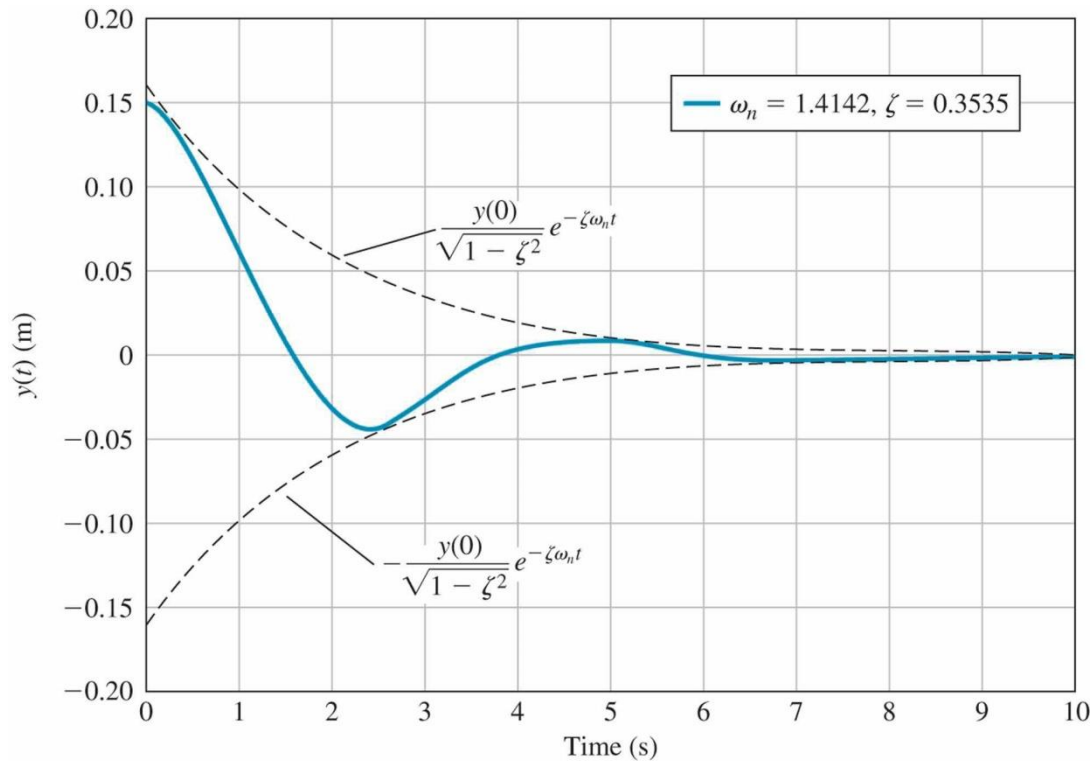
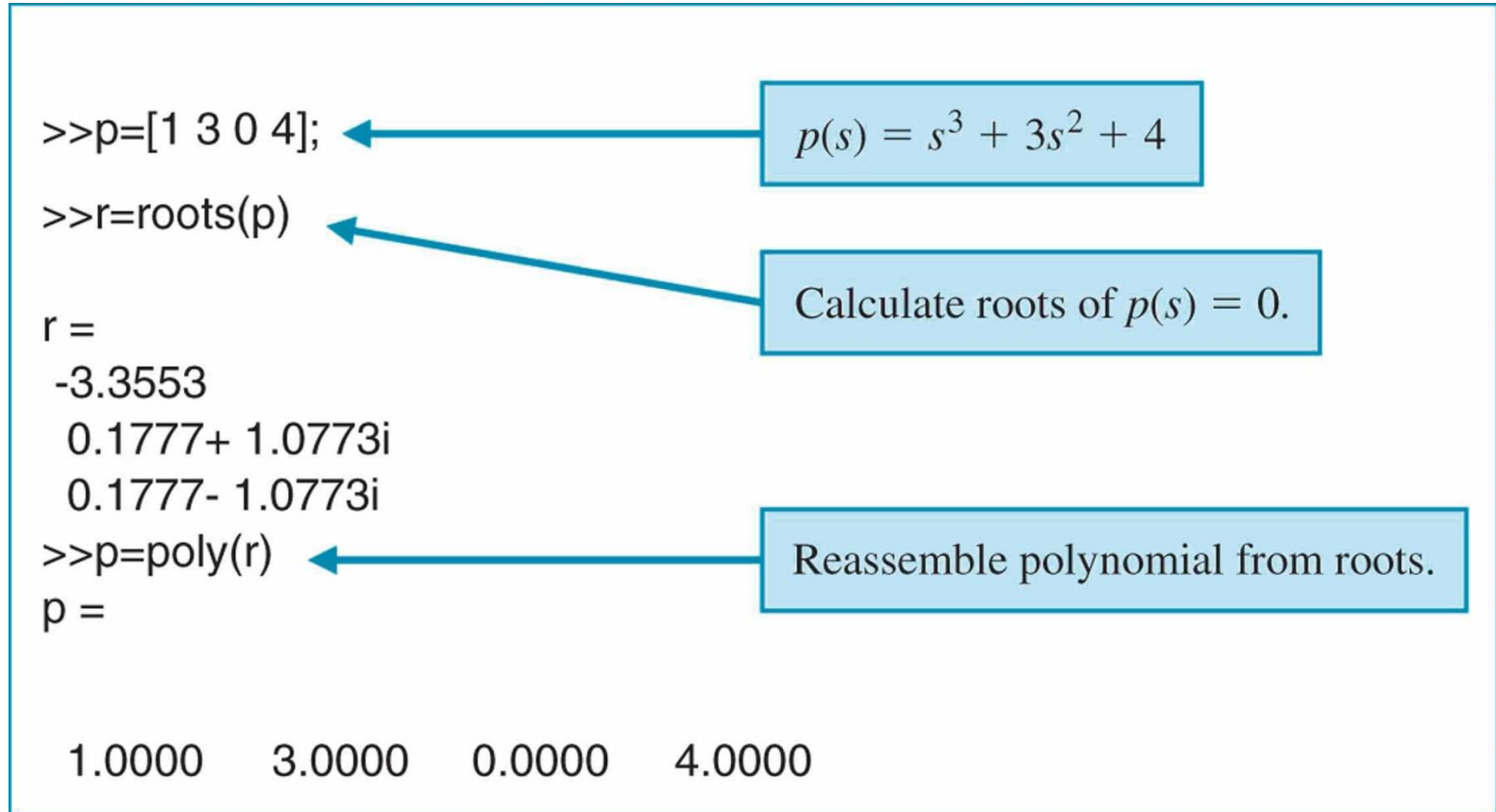


图 2.51
质量-弹簧-阻尼器系统的零输入响应

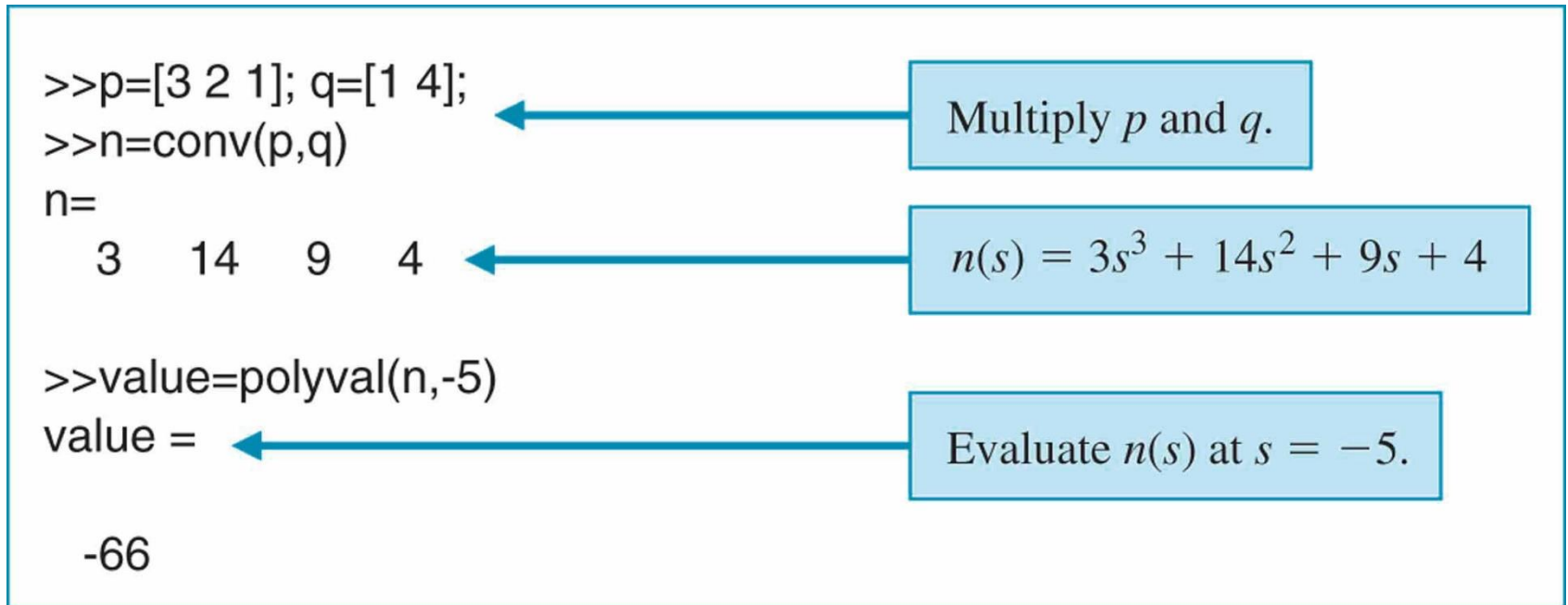
2. 多项式polynomial



Copyright © 2011 Pearson Education, Inc. publishing as Prentice Hall

图2.52 输入多项式并求解零化方程的根

2. 多项式polynomial



Copyright © 2011 Pearson Education, Inc. publishing as Prentice Hall

图2.53 多项式的乘积和求值

3. 传递函数 transfer function

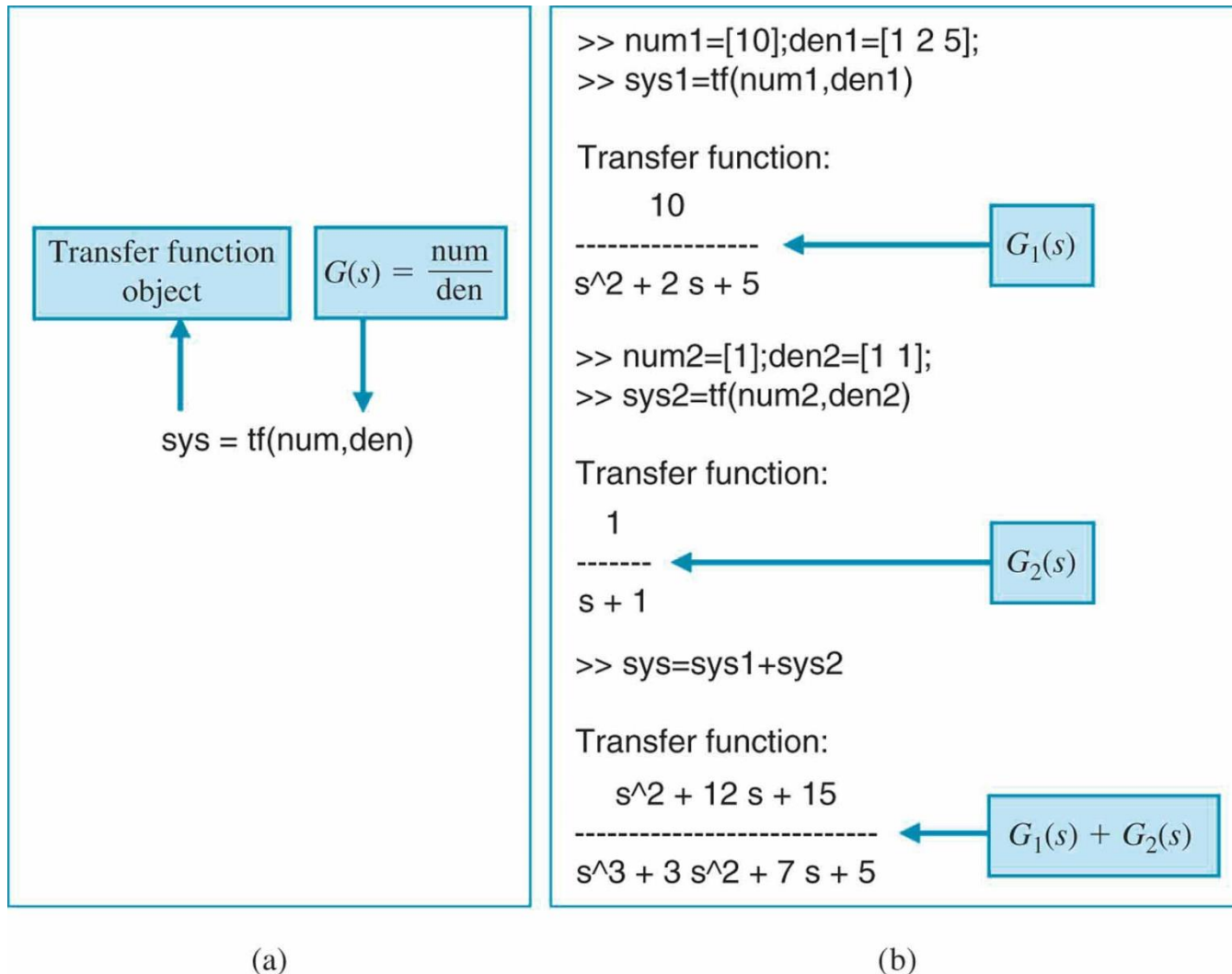


图2.54 传递函数的使用说明

4. 零极点 pole & zero

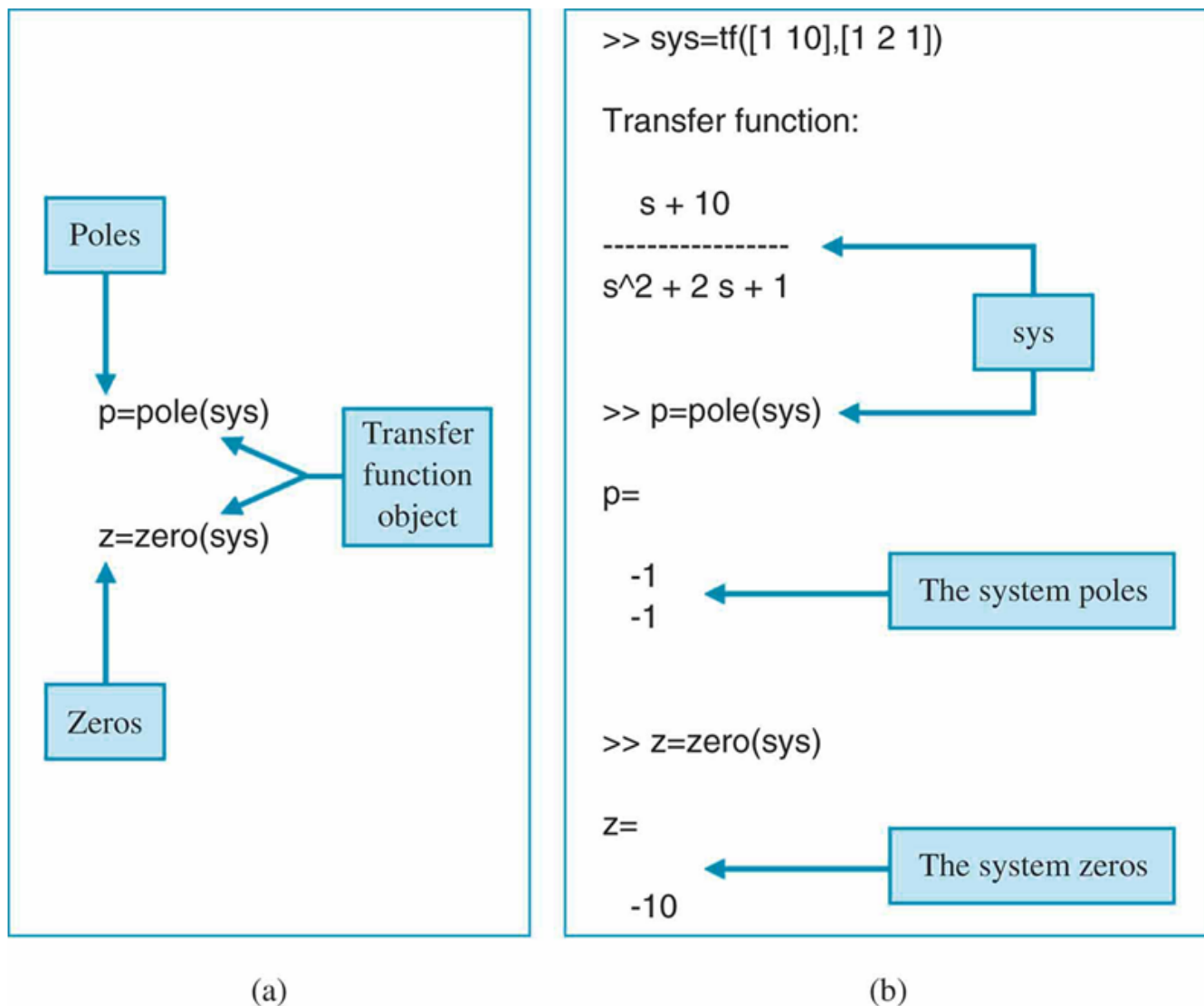


图2.55 函数 pole和zero的使用说明

4. 零极点 pole & zero

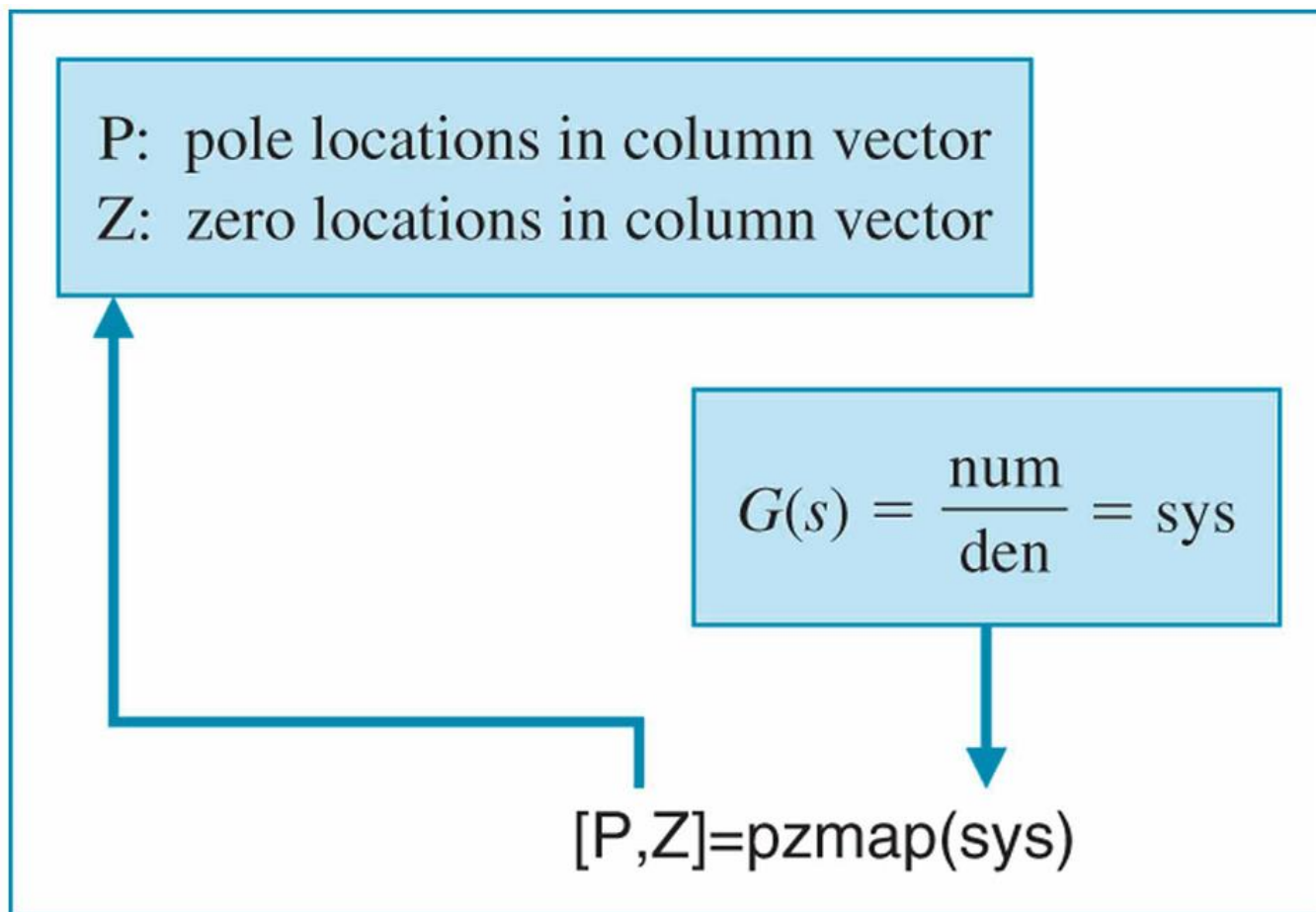


图2.56 函数 pzmap 的使用说明

例2.18

$$G(s) = \frac{6s^2 + 1}{s^3 + 3s^2 + 3s + 1}$$

$$H(s) = \frac{(s+1)(s+2)}{(s+2i)(s-2i)(s+3)}$$

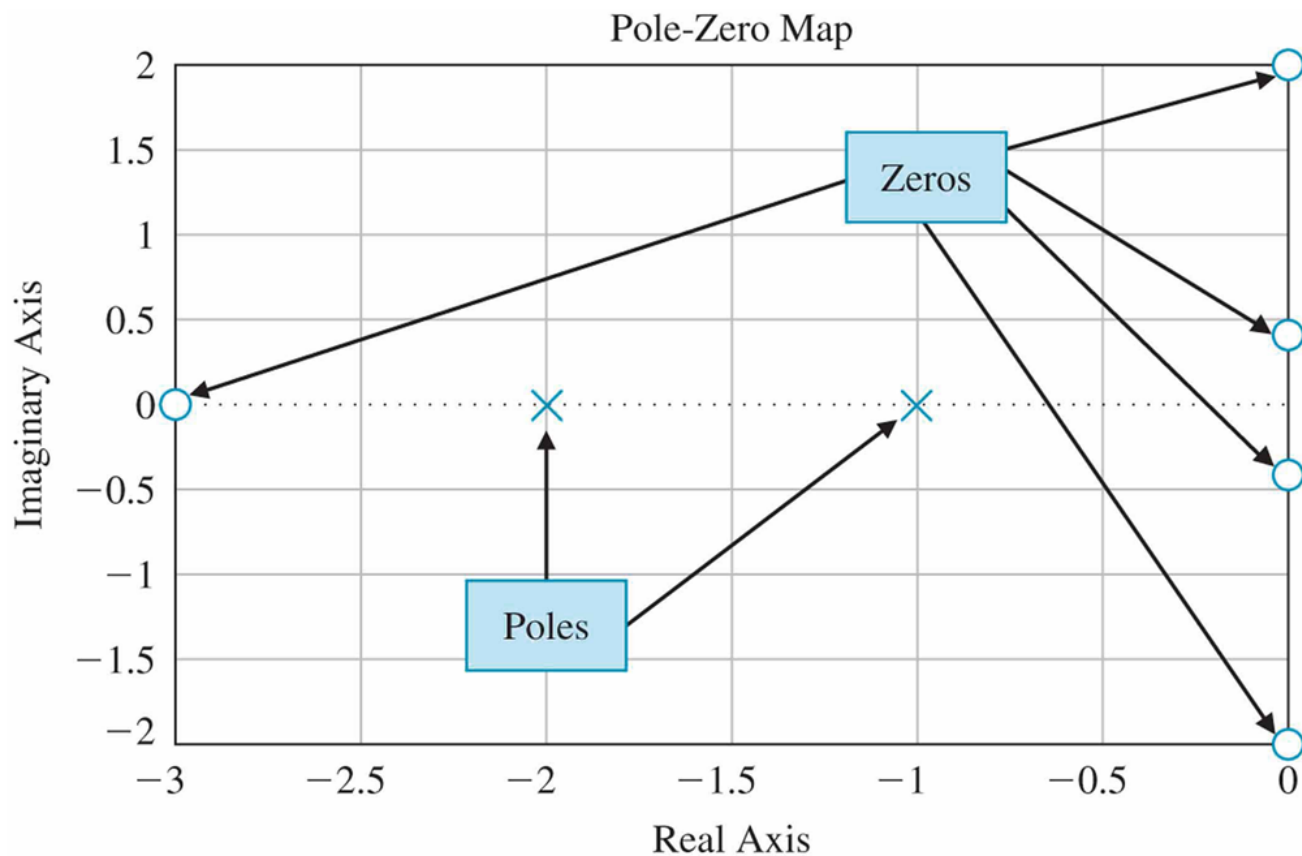


图 2.57 $G(s)/H(s)$ 的零极点图

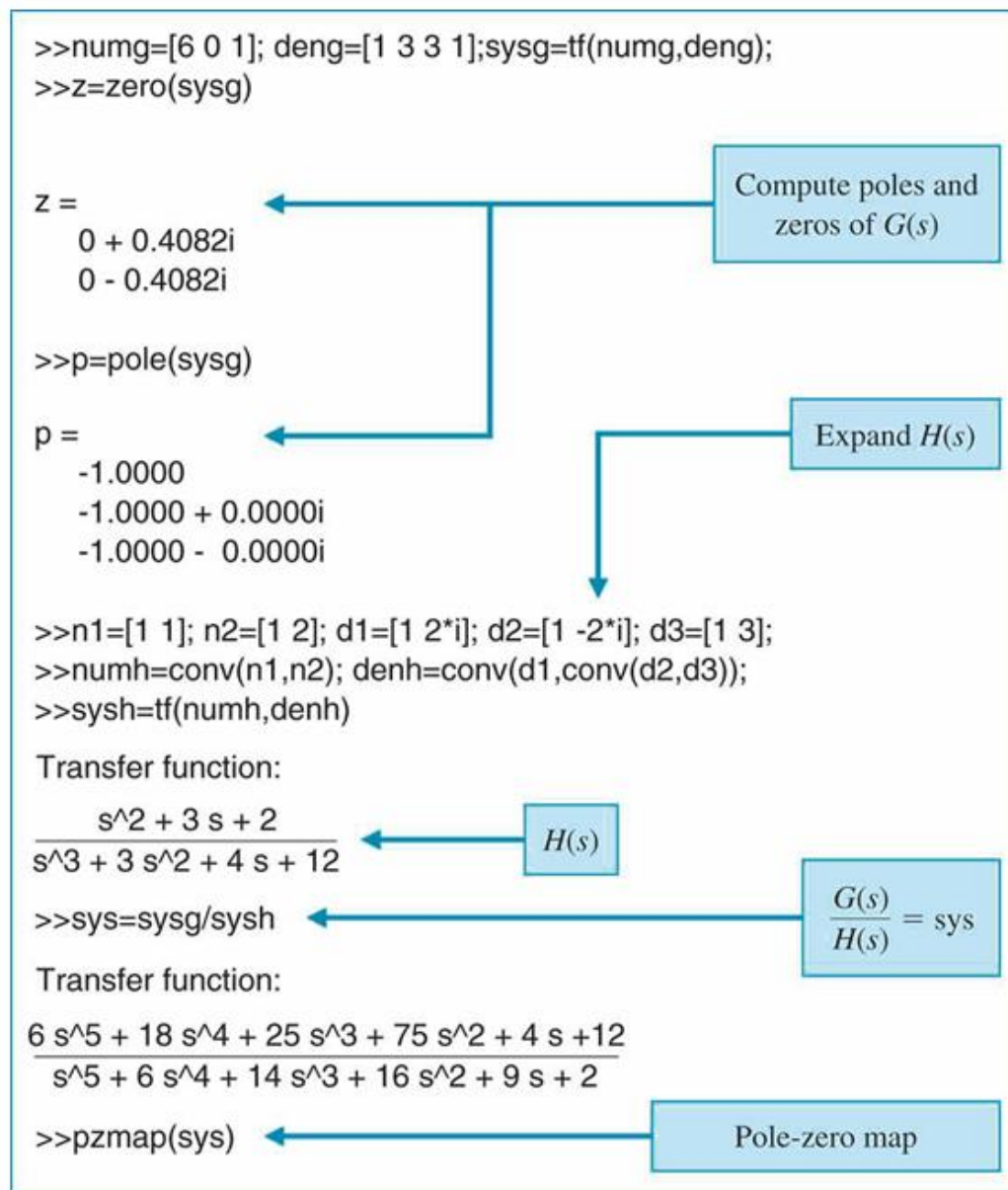


图 2.58 传递函数 $G(s)$ 和 $H(s)$ 的一些运算示例

2.10 循序渐进设计实例：磁盘驱动读取系统

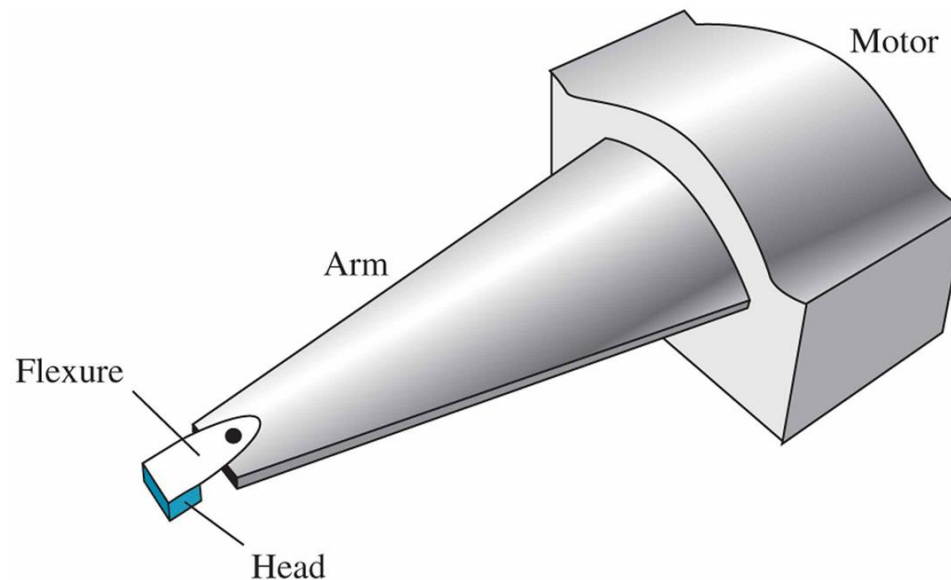


图2.75 磁头安装结构图

- 磁头安装在一个与手臂相连的片上，它读取磁盘上各点处不同的磁通量并将信号提供给放大器
- 弹性簧片flexure 用于使磁头浮于磁盘100 nm间隙的上方

2.10 循序渐进设计实例：磁盘驱动读取系统

偏差信号（**error signal**）是在磁头读取磁盘上预先录制的索引磁道（index track）时产生的

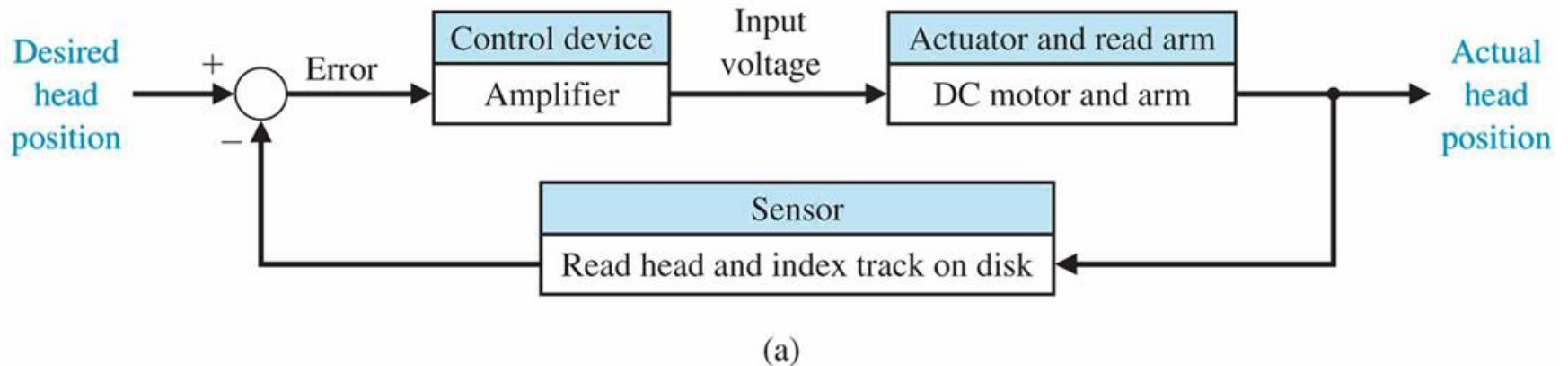


图2.76 磁盘驱动器读取系统框图模型

假定簧片是完全刚性的，不会出现明显的弯曲

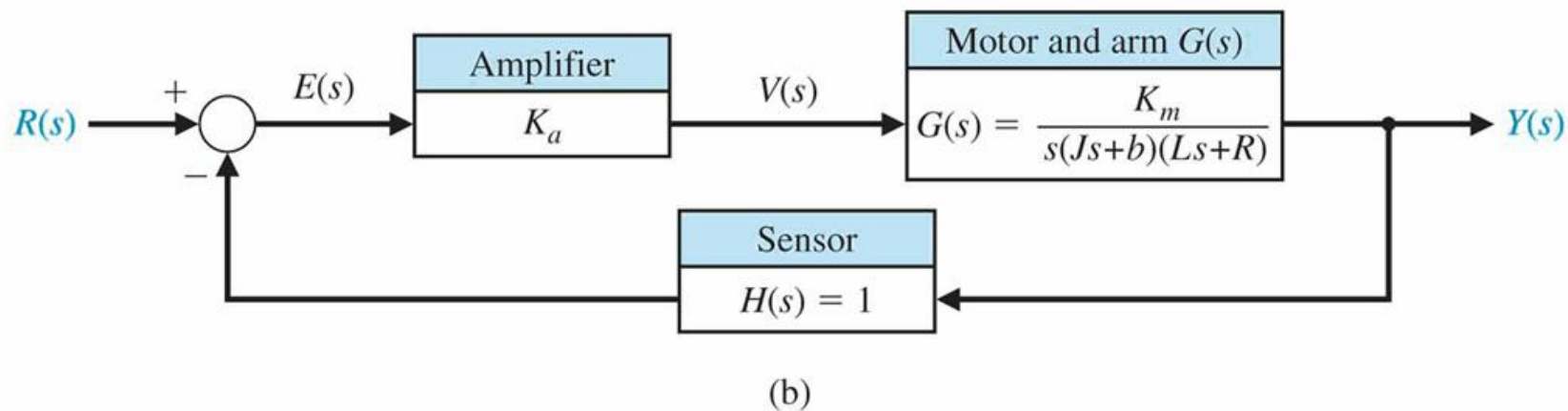


图2.76 磁盘驱动器读取系统框图模型

2.10 循序渐进设计实例：磁盘驱动读取系统

表2.10 磁盘驱动器读取系统典型参数

参数	符号	典型值
手臂与磁头的转动惯性	J	$1\text{N.m.s}^2/\text{rad}$
摩擦系数	b	20kg/m/s
放大系数	Ka	10—100
电枢电阻	R	1Ω
电机系数	Km	5N.m/A
电枢电感	L	1mH

2.10 循序渐进设计实例：磁盘驱动读取系统

$$G(s) = \frac{K_m}{s(Js + b)(Ls + R)} = \frac{5000}{s(s + 20)(s + 1000)}$$

$$G(s) = \frac{K_m/bR}{s(\tau_L s + 1)(\tau s + 1)}$$

其中 $\tau_L = J/b = 50 \text{ ms}$, $\tau = L/R = 1 \text{ ms}$.

由于 $\tau \ll \tau_L$, 我们经常忽略 τ , 可得

$$G(s) \approx \frac{K_m/bR}{s(\tau_L s + 1)} = \frac{0.25}{s(0.05s + 1)} \quad \text{或} \quad G(s) = \frac{5}{s(s + 20)}$$

闭环系统的传递函数为

$$\frac{Y(s)}{R(s)} = \frac{5K_a}{s^2 + 20s + 5K_a}$$

2.10 循序渐进设计实例：磁盘驱动读取系统

当 $K_a = 40$, 有 $Y(s) = \frac{200}{s^2 + 20s + 200} R(s)$

当 $R(s) = \frac{0.1}{s}$, 求得单位阶跃响应

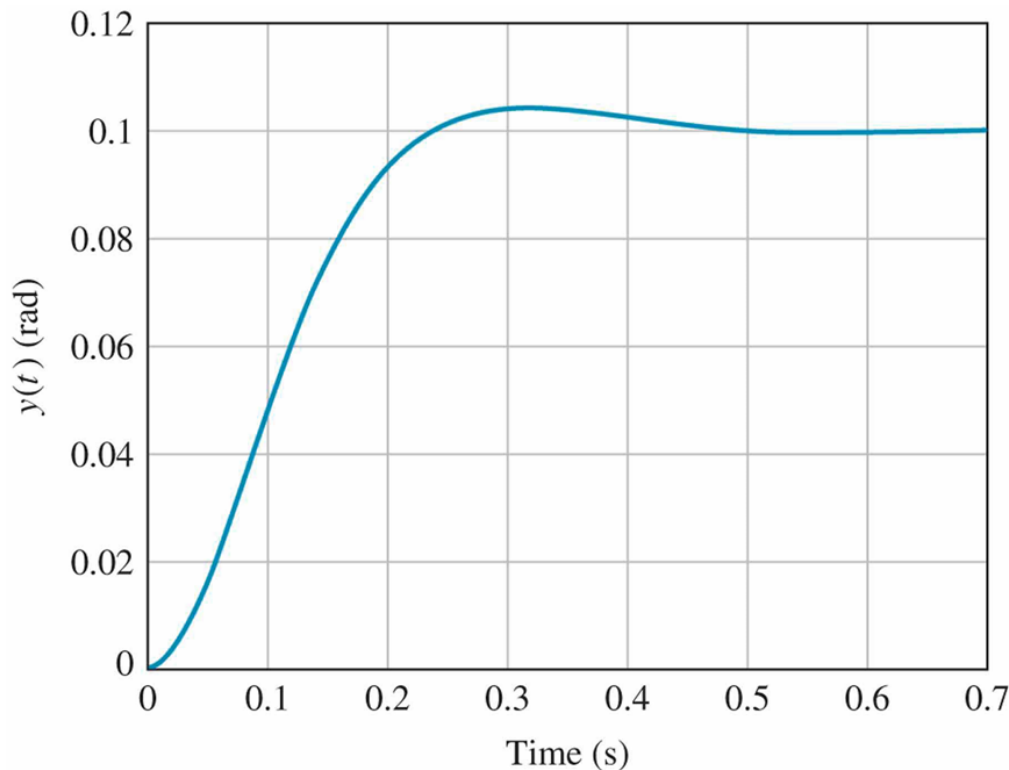


图2.78
系统阶跃响应图

[Ansys Motion新一代强大的柔性多体动力学仿真软件介绍_哔哩哔哩_bilibili](#)

[Flightmare- 一个灵活的四旋翼模拟器_哔哩哔哩_bilibili](#)

[Isaac Gym - Preview Release | NVIDIA Developer](#)

[\[转\]NVIDIA ISAAC AI 机器人全栈开发平台_哔哩哔哩_bilibili](#)

[预瞄驾驶员模型、carsim_哔哩哔哩_bilibili](#)

[使用Airsim模拟无人机飞跃张家界_哔哩哔哩_bilibili](#)

2.11 小结

- 会用微分方程建立系统的数学模型
- 能对非线性元件进行线性化
- 拉普拉斯变换
- 传递函数
- 方框图
- 控制系统的计算机仿真